



# ს.კ.ს. "რუსტავა და შემოხების ინიციატივა"

---

0177 თბილისი, ზაქარიაძის №10, ბ6. ტელ: (+32) 2 393354; მობ: 599 451265; ელ-ფოსტა: konstantinsanadze@mail.ru

---

დაბა ლენტეხის ტყაღმოგარაბეის  
რეაგილიტაცია

გეოლოგიური ნაშილი  
ტომი V

თბილისი-2019.

ლენტების მუნიციპალიტეტის დაბა ლენტების წყალსადენის  
სისტემის რეაბილიტაციისათვის ჩატარებული  
საინჟინრო გეოლოგიური კვლევების შედეგები

ლენტების მუნიციპალიტეტის დაბა ლენტების წყალსადენის  
სისტემის რეაბილიტაციისათვის ჩატარებული  
საინჟინრო გეოლოგიური კვლევების შედეგები

შპს “წყლის და შენობების ინჟინერიი”-ს  
დირექტორი

ა. სანაძე

ინჟინერ გეოლოგი

გ. ტატინაშვილი

## სარჩევი

| №  | მასალების დასახელება   | ფურცელი    |
|----|--|------------|
| 1  | 2  | 3          |
|    | <u>I ტექსტური ნაწილი</u>   |            |
| 1. | ტექნიკური დავალება   | 1 ფურცელი  |
| 2. | მიწერილობა   | 2 ფურცელი  |
| 3. | საინჟინრო-გეოლოგიური დასკვნა   | 3 ფურცელი  |
|    | <u>II ტექსტური ნაწილის დანართი</u>   |            |
| 4. | გრუნტების ლაბორატორიული გამოკვლევების კრებსითი ცხრილი                                | 3 ფურცელი  |
| 5. | თიხოვანი გრუნტის კომპრესიული და ძვრაზე გამოცდების გრაფიკები - 14 გრაფიკი             | 14 ფურცელი |
|    | <u>III გრაფიკული ნაწილი</u>  |            |
| 6. | საკვლევი უბნების ტოპოგეგმა მასშტაბით 1:500-თან ჭაბურღლილების და ჭრილის ხაზის დატანით | 3 ფურცელი  |
| 7. | ჭაბურღლილების სვეტების და საკვლევი უბნების ლიტოლოგიური ჭრილები                       | 6 ფურცელი  |

**ტექნიკური დაგალება საინინრო-გეოლოგიურ კვლევების  
ჩასატარებლად**

ობიექტის დასახელება - წყალსადენის სისტემის რეაბილიტაცია;

დამკვეთი - სპს “საქართველოს გაერთიანებული წყალმომარაგების კომპანია”;

ობიექტის მდებარეობა - ლენტების მუნიციპალიტეტი, დაბა ლენტების ტერიტორია;

მშენებლობის ტიპი - რეაბილიტაცია და ახალი მშენებლობა;

დაპროექტების სტადია - მუშა დოკუმენტაცია;

შენობის კლასი პასუხისმგებლობის მიხედვით - I და II კლასი;

ობიექტის ტექნიკური დახასიათება:

პროექტით გათვალისწინებულია შემდეგი სენობა-ნაგებობების მოწყობა:

**I - ყარიშის სათავე**

1. რეზერვუარი  $2 \times 150\text{m}^3$  ზომებით  $9 \times 9 \times 3.6 (\pm 0.00)$  მირის ნიშნული -

$0.00 = 898.00$  მეტრი.

2. საქლოროტოროს შენობა-ნაგებობა - ზომებით გეგმაზე  $4X9X3.5(h)$  მეტრი.

3. სადარაჯო - ერთსართულიანი, ზომებით გეგმაზე  $3X4X3 (h)$  მეტრი;

**II - სკიამურის სათავე**

1. საქლოროტოროს შენობა ნაგებობა - ზომებით გეგმაზე  $4X9X3.5 (h)$  მეტრი;

2. რეზერვუარი  $1X100 \text{ m}^3$ ;  $0.00=787$

**III - ლესემას სათავე**

1. კოშკი  $2 \times 25\text{m}^3$   $H=10 \text{ m}$  ზომებით  $D=2.5; L=4 \text{ m}$ ; მიწის ნიშნული  $790 \pm 0.00$  აგზის მირი-  $800 \text{ m}$ .

2. საქლოროტოროს შენობა-ნაგებობა - ზომებით გეგმაზე  $4X9X3.5(h)$  მეტრი.

3. სადარაჯო - ერთსართულიანი, ზომებით გეგმაზე  $3X4X3 (h)$  მეტრი;

საძირკვლები - ჩვეულებრივი, ლენტური, მონოლიტური ფილა;

საძირკვლების მასალა - რკინაბეტონი;

საძირკვლების ჩაღრმავება - 2 მ.

#### **IV - მელურის სათავე**

სადაწეო აგზი თრ ადგილზე  $2 \times 10 \text{ } \vartheta^3$  №1 და №2 საქლორატორო

1. №1  $W=10 \text{ } \vartheta^3$ ; მიწა 949 ბ; აგზის წირი- 950 ბ.

2. №2  $W=10 \text{ } \vartheta^3$  მიწა- 919 ბ; აგზის წირი- 920 ბ.

3. საქლორატორო  $3 \times 4 \times 3(h) \text{ 0.00}=949$

დატვირთვა საძირკვლებზე - 0.5 კგ.ქ/სმ<sup>2</sup>;

საინჟინრო გეოლოგიური კვლევების დოკუმენტაცია გადმოგვეცეს  
აკინძული თრ ეგზემპლიარად ელექტრონულ ვერსიასთან ერთად.

დავალება გასცა დირექტორი

გ.სანაძე

**მიწერილობა**  
**ლენტების მუნიციპალიტეტის დაბა ლენტების  
წყალმომარაგების სისტემის რეაბილიტაციისათვის  
გამოყოფილ უბნებზე საინჟინრო-გეოლოგიური კვლევების  
ჩასატარებლად**

წინამდებარე მიწერილობა შედგენილია ს.ნ და წ 1.02.07-87 (საინჟინრო კვლევები მშენებლობისათვის) და პ.ნ. 02.01-08 (შენობების და ნაგებობების ფუძეები) მოთხოვნათა საფუძველზე.

საინჟინრო გეოლოგიური კვლევების მიზანია უბნის საინჟინრო გეოლოგიური პირობების შესწავლა და დასაპროექტებელი შენობა-ნაგებობების დაფუძვნების საკითხის გადაწყვეტა.

საკვლევი უბნების საინჟინრო გეოლოგიური პირობების შესწავლის მიზნით გაყვანილი იქნას 19 ჭაბურღლილი.

ჭაბურღლილების სიღრმე მიღებული იქნეს ს.ნ და წ 1.02.07-87 პუნქტი 3.64, ცხრილი 37-ის მოთხოვნათა გათვალისწინებით.

ბურღვა ჩატარდეს მექანიკური სვეტური ბურღვის მეთოდით, საბურღი დანადგარით უგბ-1ვს, დიამეტრით 160 მმ-მდე, მშრალი წესით, შემოკლებული რეისებით, კერნის უწყვეტი ამოღებით.

ბურღვის პროცესში, ლაბორატორიული გამოკვლევისათვის აღებული იქნეს გრუნტის ნიმუშები, ს.ნ და წ. 1.02.07-87 პ.3.75-ის და დამკვეთის მოთხოვნათა გათვალისწინებით.

გრუნტის წყლის გამოვლინების შემთხვევაში ქიმიური ანალიზისათვის აღებული იქნეს გრუნტის სინჯები, ბეტონის მიმართ აგრესიულობის ხარისხის განსასაზღვრავად.

ჩატარებული სამუშაოების საფუძველზე შედგეს საინჟინრო გეოლოგიური კვლევების ანგარიში (დასკვნა) იმავე ს.ნ და წ. მე-9 დანართის რეკომენდაციების შესაბამისად და აიკინძოს ორ ეგზემპლიარად, შესრულდეს კვლევის მასალების ელექტრონული ვერსია.

ინჟინერ გეოლოგი

გ. ტატინაშვილი

**ლენტების მუნიციპალიტეტის დაბა ლენტების წყალსადენის  
სისტემის რეაბილიტაციისათვის ჩატარებული  
საინჟინრო გეოლოგიური კვლევების შედეგები**

**I - შესავალი**

შპს „საქართველოს გაერთიანებული წყალმომარაგების კომპანია“-ს დავალებით შ.კ.ს. „წყლის და შენობების ინჟინერია“-ზ, 2019 წლის სექტემბერში ლენტების მუნიციპალიტეტის დაბა ლენტების წყალსადენის სისტემის რეაბილიტაციისათვის წყალმომარაგებისათვის მოსაწყობი შენობა-ნაგებობების და წყალსადენის ტრასის მშენებლობისათვის გამოყოფილ უბნებზე ჩაატარა საინჟინრო-გეოლოგიური კვლევა კვლევის მიზანს წარმოადგენს:

- საკვლევი უბნების საინჟინრო გეოლოგიური პირობების შესწავლა;
- დასაპროექტებული შენობა-ნაგებობების დაფუძვნების საკითხის გადაწყვეტა.

დასაპროექტებული შენობა ნაგებობების და წყალსადენის ტრასის ტექნიკური მახასიათებლები მოცემულია თანდართულ ტექნიკურ დავალებაში.

დასახული მიზნის მისაღწევად, ჩატარებული იქნა შემდეგი სახის და მოცულობის სამუშაოები:

- მოპოვებული და შესწავლილი იქნა არსებული ფონდური მასალები;
- საკვლევი უბნების საინჟინრო გეოლოგიური პირობების შესწავლის მიზნით, მოქმედი ნორმატიული დოკუმენტების ს.ნ და წ. 1.02.07-87 და პ.ნ 02.01-08 მოთხოვნათა გათვალისწინებით, თვითმავალი საბურღი დანადგარით „უგბ-1გს“, მექანიკური სვეტური ბურღვის მეთოდით, დიამეტრით 160 მმ-მდე, მშრალი წესით, კერნის უწყვეტი ამოდებით, შემოკლებული რეისებით ჭაბურღილი იქნა 19 (№№--- - 19) ჭაბურღილი, აქედან:

**I - ყარიშის სათავე:**

- რეზერვუარის უბანი - სამი ჭაბურღილი (№№1-3) სიდრმით 7.0 მეტრი თვითმეული, საერთო მეტრაჟით 21.0 გრძივი მეტრი;

- საქლოროტოროს უბანი - სამი ჭაბურღლილი (N<sup>o</sup>N<sup>o</sup>4-6) სიღრმით 6.0 მეტრი თვითეული, საერთო მეტრაჟით 18.0 გრძივი მეტრი;

- სადარაჯოს უბანი - ორი ჭაბურღლილი, (N<sup>o</sup>N<sup>o</sup>7-8) სიღრმით 4.0 მეტრი თვითეული, საერთო მეტრაჟით 8.0 გრძივი მეტრი;

### **II - სკითმურის სათავე:**

- საქლოროტოროს უბანი - სამი ჭაბურღლილი (N<sup>o</sup>N<sup>o</sup>9-11) სიღრმით 6.0 მეტრი თვითეული, საერთო მეტრაჟით 18.0 მეტრი თვითეული;

### **III - ლესებას სათავე:**

- სადარაჯოს უბანი - ორი ჭაბურღლილი (N<sup>o</sup>N<sup>o</sup>12-13) სიღრმით 4.0 მეტრი თვითეული, საერთო მეტრაჟით 8.0 გრძივი მეტრი;

- რეზერვუარის უბანი - სამი ჭაბურღლილი (N<sup>o</sup>N<sup>o</sup>14-16) სიღრმით 7.0 მეტრი თვითეული, საერთო მეტრაჟით 21 გრძივი მეტრი;

- საქლოროტოროს უბანი - სამი ჭაბურღლილი (N<sup>o</sup>N<sup>o</sup>17-19) სიღრმით 6.0 მეტრი თვითეული, საერთო მეტრაჟით 18.0 გრძივი მეტრი.

ჭაბურღლილების საერთო მეტრაჟმა შეადგინა 101.0 გრძივი მეტრი.

ჭაბურღლილების სიღრმე აღებულია სხ და წ 1.02.07-87-ის პუნქტი 3.64-ის ცხრილი 37-ის მოთხოვნათა გათვალისწინებით.

### **IV - მელურას სათავე:**

- საპროექტო ავზი 10 მ<sup>3</sup>;

- საპროექტო ავზი 5 მ<sup>3</sup>

- საქლორატორო

სამუშაოების დამთავრების შემდეგ ჭაბურღლილები ლიკვიდირებულია ამონაფარი გრუნტით.

- ლაბორატორიული შესწავლისათვის ჭაბურღლილებიდან, სხვადასხვა სიღრმიდან აღებული იქნა დაურღვევებული სტრუქტურის 7 ნიმუში (მონოლითი) და დარღვეული სტრუქტურის 29 ნიმუში, რომლის კვლევის შედეგები თან ერთვის წინამდებარე დასკვნას კრებსითი ცხრილის, აგრეთვე კომპრესიული და ძვრაზე გამოცდების გრაფიკების სახით.

გრუნტების გეოტექნიკური მახასიათებლები განისაზრება შემდეგი სხ და წ და სტანდარტების მიხედვით;

- B5388 2007-ს მოთხოვნათა გათვალისწინებით;

- საინჟინრო - გეოლოგიური კვლევები მშენებლობისათვის 1-15 11-105-97;
- გრანუმეტრული შემადგენლობა - სტანდარტი 12.536-79;
- ფიზიკური თვისებები - სტანდარტი 51.80-84;
- სიმტკიცის მახასიათებლები - სტანდარტი 12.248-78;
- დეფორმაციის მახასიათებლები - სტანდარტი 23.408-79;
- გრუნტის კლასიფიკაცია - სტანდარტი 25.100-82;
- კლიმატური პირობები - სხ და წ (პნ 01.05-08);
- გრუნტის საანგარიშო წინაღობა  $R_0$  სხ და წ (პნ 02.01.08);
- სეისმურობა სხ და წ (პნ 01.01.09)
- ექსპერიმენტული მონაცემების დამუშავება ვარიაციული სტატისტიკის მეთოდებით - სტანდარტი 20.522.75.

ტოპოგეგმად გამოყენებულია სპს „წყლის და შენობების ინჟინერია“-ს გეოდეზისტების მიერ გადაღებული ტოპოგეგმა მასშტაბით 1:500-თან:

საკელე სამუშაოები ჩაატარა და წინამდებარე დასკვნა შეადგინა ინჯინერ გეოლოგმა გოჩა ტატინაშვილმა.

## გეოგარემოს ზოგადი დახმასიათება

### II.1. კლიმატური პირობები

სამშენებლო მოედნის კლიმატური პირობების შეფასებისათვის გამოყენებულია მეტეოსადგურებისა და სხ. და წ. „სამშენებლო კლიმატოლოგია“-ს (პნ.01.02-08) მონაცემები. რაიონის კლიმატი ზოგადად კონტინენტურია, ხანგრძლივი ზამთრით და მოკლე ზაფხულით. ქვემოთ ცხრილებში მოცემულია კლიმატის ყველა მახასიათებლები.

ლენტების რაიონის კლიმატური პირობები განპირობებულია მისი ცალკეული უბნების გეოგრაფიული მდებარეობით და მათი შავი ზღვიდან დაშორების განსხვავებით. ასევე, კლიმატის სხვაობა აისახება მთის ქედების მიმართულებით, რომლებიც გავლენას ახდენენ შავი ზღვიდან წამოსული ჰაერის ნაკადებზე. ზემო და ქვემო სვანეთის ტერიტორია მოქცეულია დასავლეთ საქართველოს ნოტიო სუბტროპიკულ ზონაში. ჰაერის მასების დაუბრკოლებელი შემოჭრა მის ტერიტორიაზე ხდება მხოლოდ სამხრეთ-

დასავლეთიდან, მდინარე ენგურის და ცხენისწყლის ხეობის გავლით. ყველა სხვა მიმართულებით რეგიონის ტერიტორია გარშემორტყმულია მაღალი ქედებით, რომელთა გადალახვა ჰაერის მასების ქვედა ფენებისთვის გაძნელებულია. რაიონი წარმოადგენს თავისებურ კლიმატურ ანკლავს მისთვის დამახასიათებელი კლიმატის მკვეთრად გამოხატული ვერტიკალური ზონალობით. საკვლევი ტერიტორიაზე ჩამოყალიბებულია ნოტიო ჰავა საკმაოდ ცივი ზამთრითა და ხანგრძლივი, თბილი ზაფხულით. პროექტის განხორციელების არეალისთვის დამახასიათებელი მეტეოპირობები წარმოდგენილია ქვემოთ მოყვანილ ცხრილებში (წყარო: სნწ „სამშენებლო კლიმატოლოგია“). საკვლევი უბნის კლიმატური პირობების შეფასება ეყრდნობა ლენტების (№84), მესტიის (№91) და ხაიშის (№68) მეტეოსადგურების მონაცემებს. მონაცემები მიღებულია სამშენებლო კლიმატოლოგის სტანდარტით (პნ 01.05-08). საქართველოს სამშენებლო კლიმატური დარაიონების რუკის მიხედვით რაიონი მიეკუთვნება II კლიმატურ და II-ბ ქვერაიონს. იანვრის საშუალო ტემპერატურა  $-5^{\circ}\text{C}$ -დან  $-12^{\circ}\text{C}$ -მდე იცვლება, ხოლო ივლისის საშუალო ტემპერატურა  $+21^{\circ}\text{C}$ -დან  $+25^{\circ}\text{C}$ -ის ფარგლებშია. ჰაერის ტემპერატურული რეჟიმი და სხვა კლიმატური მახასიათებლები მოცემულია ქვემოთ.

ლენტების მეტეოსადგურის მაჩვენებლებით ქარის მახასიათებლები ასეთია:

- ქარის წნევის ნორმატიული მნიშვნელობა  $W_0 = 5$  წელიწადში ერთხელ 0.17 კპ;
- ქარის წნევის ნორმატიული მნიშვნელობა  $W_0 = 15$  წელიწადში ერთხელ 0.17 კპ;
- წელიწადში ერთხელ მოსალოდნელია ქარი, სიჩქარით 14 მ/წმ;
- 5 წელიწადში ერთხელ მოსალოდნელია ქარი, სიჩქარით 17 მ/წმ;
- 10 წელიწადში ერთხელ მოსალოდნელია ქარი, სიჩქარით 19 მ/წმ;
- 15 წელიწადში ერთხელ მოსალოდნელია ქარი, სიჩქარით 20 მ/წმ;
- 20 წელიწადში ერთხელ მოსალოდნელია ქარი, სიჩქარით 20 მ/წმ;

მესტიის მეტეოსადგურის მაჩვენებლებით გრუნტების სეზონური გაყინვის ნორმატიული სიღრმე ტოლია:

- თიხოვანი და თიხნარი - 36 სმ;
- წვრილი და მტკრისებრი ქვიშის თიხაქვიშა – 43 სმ;
- მსხვილი და საშ. სიმსხვილის ხრეშისებური ქვიშის – 47 სმ;
- მსხვილნატეხოვანის – 54 სმ;

## II.2. პიდროგრაფია

რაიონის მთავარი პიდროგრაფიული ერთეულია მდ. ცხენისწყალი. პიდროგრაფიული ქსე-ლი ხშირია, მდინარეებს ვიწრო ხეობები, დიდი ვარდნა და დახრილობა აქვთ.

მდ. ცხენისწყალი შერეული საზრდოობის მდინარეა, იკვებება თოვლით, წვიმით და მყინ-ვარეული ასევე მიწის ქეშა წყლებით. წყალდიდობა ახასიათებს გაზაფხულზე და ზაფ-ხულის დასაწყისში. შემოდგომაზე ხანდახან წყალმოვარდნა იცის. ივლის-აგვისტოში წყალ მცირობაა, მდგრადი წყალმცირობა კი ზამთარში ახასიათებს. მდინარეს რაიონის ტერიტორიაზე უამრავი მოქმედი და დროებით მოქმედი ხევები და მცირე შენაკადები ერთვის. რაიონის ტერიტორიის ფარგლებში მდინარის ხეობა მრავალფერო ვანია, მაღალ-მთიან ზონაში იგი ზოგჯერ V-სებრია, ზოგჯერაც როფისებრი, დინების მიმართულებით ხეობა თანდათან გადადის გორაკ-ბორცვიანი რელიეფის ზონაში და შესაბამისად ჩნდება ხეობისათვის დამახასიათებელი რელიეფი.

## II.3. გეომორფოლოგია

საკვლევი რაიონის ტერიტორია საკმაოდ რთული მორფოლოგიური (ტექტონიკური, ლითოლოგიური) აგებულებისაა. მან განიცადა როგორც ძველი, ისე თანამედროვე ერო ზი-ულ-დენუდაციური და აგუმულაციური პროცესების ინტენსიური ზემოქმედება. ამის შედე გად რელიეფი ნაირგვარია. სამხრეთ-დასავლეთი ხასიათდება გორაკ-ბორცვიანი რე ლი-ეფით ხოლო, ჩრდილო-აღმოსავლეთი მთაგორიანია. გვხვდება პლატოსებრი, მეტ ნაკლებად მოსწორებული უბნები. აღსანიშნავია ის გარემოებაც, რომ მდინარის ხეობის ორივე ფერდი რაიონის ფარგლებში მცირე გამონაკლისის გარდა ციცაბოა, იშვიათად აღინიშნება ხეობის ელემენტების

მცირე ზომის ფრაგმენტები. აბს. ნიშნულები 735-1000 მ-ის ფარგლებში იცვლება.

#### II.4. შესწავლილობა, ტექტონიკა, გეოლოგიური აგებულება

##### II.4.1. საინჟინრო-გეოლოგიური შესწავლილობა

საკვლევი ტერიტორიის საინჟინრო-გეოლოგიური პირობების შესახებ ინფორმაციული მასალა არსებობს, როგორც საქართველოს ფარგლებში ჩატარებული 1:600 000 მასშტაბის გეომორფოლოგიური, პიდროგეოლოგიური და საინჟინრო-გეოლოგიური კვლევების სა ხით. პიდროგეოლოგიური კვლევები ჩატარებულია გასული საუკუნის 70-იან და 80-იან წლებში (ი. ბუაჩიძე, დ. კაჭარავა, გ. ჩხაიძე და სხვები). ასევე გასული საუკუნის 80-იან წლებში განხორციელდა კვლევები და გამოიცა 1:200 000 მასშტაბის სახელმწიფო პიდროგეოლოგიური რუკა (ლ. ხარატიშვილი, ლ. ვარატინცევა), რომელშიდაც მოქცეულია საკვლევი ტერიტორია.

გეომორფოლოგიური კვლევები ჩატარებული აქვს ლ. მარჯაშვილს (1971 წ.), დ. წერეთელს (1886 წ.), მ. ასტახოვს (1973 წ) და სხვებს. აღნიშნულ კვლევებში დეტალურადაა განხილული საკვლევი ტერიტორიის გეომორფოლოგიური ბუნება და რელიეფის ტიპები.

მიუხედავად ზემოთაღნიშნული კვლევების მასალების არსებობისა, არცერთი მათ-განი არ ისახავდა და ვერც განახორციელებდა იმ დეტალურობით მასალების მოწოდებას, რომელიც აუცილებელია კონკრეტული უბნებზე საამშენებლო სამუშაოების საინჟინრო-გეო ლოგიური მომსახურეობის უზრუნველსაყოფად.

##### II.4.2. ტექტონიკა, გეოლოგიური აგებულება

საკვლევი ტერიტორია მიეკუთვნება კავკასიონის სამხრეთი ფერდობის მესტია-თიანეთის ნაოჭა ზონას. ეგამყრელიძის (2000წ) საქართველოს

ტერტორიის ტექტონიკური დარაიონების სქემის მიხედვით საკვლევი ტერიტორია შედის ალპური ოროგენეზისის ნაოჭა სისტემის ფარგლებში, რომელშიც გამოიყოფა ორი ტექტონიკური ერთეული:

- 1.კავკასიონის მთავარი ქედის ანტიკლინორიუმი.
- 2.კავკასიონის სამხრეთი ფერდობის ნაოჭა სისტემა.

ტერიტორია ძლიერ დანაოჭებულია, გართულებულია მრავალრიცხოვანი ტექტონიკური რღვევებით. გეოლოგიური აგებულება მრავალფეროვანი და რთულია. ტერიტორიის ფარგლებში კერძოდ წრდილო ნაწილში ქვედა პალეოზოური ასაკის (PZ<sub>1</sub>) კავკასიონის გულის კრისტალური მასივის ამგები (გნეისები, კრისტალური ფიქლები, ფილიტები, მსხვილმარცვლოვანი ქარსიანი გრანიტოდები) ქანებითაა წარმოდგენლი, ხოლო სამხრეთით ფართო გავრცელებით სარგებლობენ შუა იურული ასაკის თიხაფიქლები, კვარციტები, ასპიდური ფიქლები. ამავე ქანებში აღინიშნება მცირე გავრცელების მქონე ინტრუზიული წარმონაქმნების გამოსავლები. რაიონის სამხრეთ ნაწილში ვიწრო ზოლის სახით, რომელიც სამხრეთ-აღმოსავლეთით ფართოვდება აღინიშნება ზედა იურულ-ცარცული (J<sub>3</sub>-K) ასაკის ძლი ერდისლოცირებული, კირქვების მერგელების და ქვიშაქვების გაშიშვლებები.

მეოთხეული (Q) წარმოდგენილია კაჭარ-კენჭნაროვანი, მსხვილ და საშუალო ნატეხოვანი წარმონაქმნებით, რომლებიც გვხვდებიან მდინარეთა ხევებში, გამოტანის კონუსებში, ტერასულ წარმონაქმნებში.

თანამედროვე მეოთხეული (4) წარმოდგენილია ალუვიური, ალუვიურ-პროლუვიური, დელუვიური და დელუვიურ-პროლუვიური წარმონაქმნებით. ისინი ძირითადად გავრცელებული არიან მდინარეთა ხეობებში, მთათა ფერდობებზე.

## II.5. ჰიდროგეოლოგია

საქართველოს ტერიტორიის ჰიდროგეოლოგიური დარაიონების სქემის მიხედვით (აკად. ი. ბუაჩიძე) ტერიტორია შედის დიდი კავკასიონის სამხრეთ ფერდის ნაოჭა სისტემის წყალწნევიანი ზონის, სვანეთის, ნაწილობრივ მესტია-თიანეთისა და კრისტალური მასივის ნაპრალოვან-წნევიანი წყლების გავრცელების რაიონებში.

რაიონის ტერიტორიაზე აღინიშნება რამდენიმე წყალშემცველი პორიზონტი:

- თანამედროვე (4) ალუვიური ნალექების წყალშემცველი პორიზონტი გრცელდება მდინარეთა კალაპოტებში, ჭალებსა და ჭალისზედა ტერასებზე. იგი წარმოდგენილია კენჭნარებით და ხასიათდებიან მაღალი ფილტრაციული თვისებებით (100-150 ლ/დდ.). მიწისქვეშა წყლების ნაკადის დინების მიმართულება თანხვდება მდინარეთა დინების მიმართულებას. ისინი იკვებებიან მირითადად მდინარეული წყლებით, ატმოსფერული ნალექების წილი მათ კვებაში შედარებით უმნიშვნელოა. წყლების საერთო მინერალიზაცია 0.3-0.5 გრ/ლ-ის ფარგლებშია, იგი პიდროკარბონატულ-სულფატურ-კალციუმ-ნატრიუმიანი, იშვიათად კალციუმ-ნატრიუმ-მაგნიუმიანი ტიპისაა.
- სვანეთის ნაპრალოვანი წყალწნევიანი სისტემა ლითოლოგიურად წარმოდგენილია კირქვებისა და ქვიშაქვების მორიგეობით.
- მესტია-თიანეთის ნაპრალოვანი და ნაპრალოვან კარსტული წყალწნევიანი კომპლექსის ლითოლოგია წარმოდგენილია ზედა ცარცული კირქვებით მერგელებით და ქვიშა ქვების ფლიშური წარმონაქმნებით.
- ზედა იურულ-ცარცული ასაკის ნალექების წყალშემცველი კომპლექსი ზოგადად ფართო გავრცელებით სარგებლობს. იგი წარმოდგენილია სპორადულად გაწყლოვანებული თიხაფიქლებით, ასპიდური და კრისტალური ფიქლებით.

## II.6. სეისმოლოგია

საქალევი ტერიტორია მდებარეობს, დიდი კავკასიონის სამხრეთ ფერდის ნაოჭა სისტემის ზონაში, რომელიც ძლიერ დანაოჭებულია, გართულებულია მრავალ რიცხოვანი ურ-თი ერთგადამაკვე თი ტექტონიკური რღვევებით. არსებული სტატისტიკური მონაცემებით მაღალი მაგნიტუდის მიწისძვრებს, რომლებსაც შეუძლიათ მნიშვნელოვანი ზიანი მიაყენონ თანამედროვე საინჟინრო ნაგებობებს და გავლენა იქონიონ რელიეფის მორფოდინამიკაზე,

არა ერთხელ პქონდა ადგილი, როგორც ისტორიულ, ასევე უახლოეს წარსულში.

ქვემოთ მოგვყავს სეისმური ტალღების მაქსიმალური ჰორიზონტალური აჩქარების მახასიათებლები საკვლევი ტერიტორიის ფარგლებში და მის მიმდებარედ, არსებული დასახლებული პუნქტებისათვის:

1. მესტია -  $0.36 \text{ g}/\sqrt{\text{m}^2}$ ;
2. ლენტები -  $0.34 \text{ g}/\sqrt{\text{m}^2}$ .

## II.7. სპეციალური ნაწილი

საკვლევი უბნები მდებარეობს ლენტების მუნიციპალიტეტის დაბა ლენტების ტერიტორიაზე არსებული ძველი სათავეების უბნებზე.

გეომორფოლოგიურად საკვლევი უბნები წარმოადგენს:

- ყარიშის სათავის უბანი – ჩრდილოეთისაკენ დახრილ ფერდის ნაწილს რომლის აბსოლიტური ნიშნულები მერყეობენ  $900.40-902.70$  მეტრის დიაპაზონში;
- სკიამურის სათავის უბანი – ჩრდილო-აღმოსავლეთისაკენ დახრილ ფერდის ნაწილს, რომლის აბსოლიტური ნიშნულები მერყეობენ  $788.80-789.90$  მეტრის დიაპაზონში;
- ლესემას სათავის უბანი – სამხრეთისაკენ დახრილ ფერდის ნაწილს, რომლის აბსოლიტური ნიშნულები მერყეობენ  $802.20-805.20$  მეტრის ფარგლებში.
- საკვლევი უბნები გაუნაშენებელის, დაფარულია ბალახით.
- საკვლევ უბნებზე და მის მიმდებარე ტერიტორიებზე რაიმე უარყოფითი ფიზიკურ-გეოლოგიური პროცესები (მეწყერი, კარსტი, ჩაქცევები და სხვა) არ შეიმჩნევა.

3.6 01.05-08-ის “სამშენებლო კლიმატოლოგია” თანახმად, საკვლევი უბნის ძირითადი კლიმატური მახასიათებლები შემდეგია:

- წლის საშუალო ტემპერატურა -  $+9.4^{\circ}\text{C}$ ;
- ტემპერატურის აბსოლიტური მინიმუმი -  $-26.0^{\circ}\text{C}$ ;
- ტემპერატურის აბსოლიტური მაქსიმუმი -  $+39.0^{\circ}\text{C}$ ;
- ნალექების რაოდენობა წელიწადში -  $1244.0 \text{ mm}$ ;

- ქარის უდიდესი სიჩქარე 20 წელიწადში ერთხელ - 18.0 მ/წ;
- ქარის წნევის ნორმატიული მნიშვნელობა 5 წელიწადში ერთხელ - 0.17 კპა; 15 წელიწადში ერთხელ - 0.17 კპა;
- ქარის გაბატონებული მიმართულება - ჩრდილო-დასავლეთის;
- თოვლის საფარის წონა - 1.25 კპა;
- თოვლის საფარის დღეთა რიცხვი - 80;
- გრუნტის სეზონური გამყინვარების ნორმატიული სიღრმე - თიხოვანი გრუნტისთვის -36 სმ, მსხვილნატეხოვანი გრუნტისთვის - 54 სმ.

ჩატარებული საველე სამუშაოების მონაცემების მიხედვით შედგენილია ჭაბურლილების სვეტების და საკვლევი უბნების ლითოლოგიური ჭრილები.

როგორც წარმოდგენილი ჭრილებიდან ჩანს, საკვლევი უბნების საინჟინრო გეოლოგიურ აგებულებაში მონაწილეობენ:

- ყარიშის სათავე - მიწის ზედაპირიდან 0.40-0.50 მეტრის სიღრმიდან, 2.40-2.80 მეტრის სიღრმემდე გავრცელებულია დელუვიური ( $dQ_{IV}$ ) ნალექები წარმოდგენილი ღია ყავისფერიდან მუქ ყავისფერის, მიკროფორული, ნახევრადმყარი კონსისტენციის, წვრილი და საშუალო ფრაქციის, ხვინჭის და ღორღის 15-25%-მდე მინარევიანი თიხები (ფენა 2), რომლის ქვეშაც, მიწის ზედაპირიდან 2.40-2.80 მეტრის სიღრმიდან, გამოკვლეულ 4.00-7.00 მეტრის სიღრმემდე გავრცელებულია დელუვიურ-პროლივიური ( $dpQ_{IV}$ ) ნალექები - მსხვილი ნატეხოვანი გრუნტი - ლოდები (ზომებით  $\ell = 0.20 - 0.60$  მეტრი), სხვადასხვა ფრაქციის ხვინჭა და ღორღი, თიხნარის შემავსებლით 20-30%-მდე (ფენა 3).

ზემოაღნიშნული ნალექები ზემოდან გადაფარულია 0.40-0.50 მეტრის სიმძლავრის ნიადაგის ფენით (ფენა 1).

- სკიამურის სათავე - მიწის ზედაპირიდან 0.40-0.50 მეტრის სიღრმიდან, გამოკვლეულ 6.0 მეტრის სიღრმემდე გავრცელებულია დელუვიურ-პროლივიური ( $dpQ_{IV}$ ) ნალექები - მსხვილი ნატეხოვანი გრუნტი - ლოდები (ზომებით  $\ell = 0.20 - 0.60$  მეტრი), სხვადასხვა ფრაქციის ხვინჭა და ღორღი, თიხნარის შემავსებლით 20-30%-მდე (ფენა 3).

ზემოაღნიშნული ნალექები ზემოდან გადაფარულია 0.40-0.50 მეტრის სიმძლავრის ნიადაგის ფენით (ფენა 1).

- ლესემას სათავე – მიწის ზედაპირიდან 0.50-0.60 მეტრის სიღრმიდან, გამოკვლეულ 4.00-7.00 მეტრის სიღრმემდე გავრცელებულია დელუგიურ-პროლიფიური ( $dpQ_{IV}$ ) ნალექები – მსხვილი ნატეხოვანი გრუნტი – ლოდები (ზომებით 0.40-1.20მეტრი), სხვადასხვა ფრაქციის ხვინჭა და დორდი, თიხიანი ქვიშის შემავსებლით 10%-მდე (ფენა 4).

ზემოთაღწერილი ნალექები ზემოდან გადაფარულია 0.50-0.60 მეტრის სიმძლავრის ნიადაგის ფენით (ფენა 1).

მსხვილნატეხოვანი გრუნტის (ფენა 3 და 4) ჩონჩხური მასალა წარმოდგენილია მაგმური, მეტამორფული და დანალექი ქანებით,

პიდროგეოლოგიური თვალსაზრისით საკვლევი უბანი გამოკვლეულ 4.0-7.0 მეტრის სიღრმემდე ხასიათდეა გრუნტის წყლის არ არსებობით (სექტემბერი 2019 წელი).

როგორც აღინიშნა შესავალ ნაწილში ყარიშის სათავეზე გავრცელებული ფენა 2-ის თიხოვანი გრუნტიდან აღებული და ლაბორატორიულად შესწავლილი იქნა დაურღვევებული სტრუქტურის 7 ნიმუში, რომელზედაც განსაზღვრული იქნა ფიზიკურ-მექანიკური მახასიათებლები.

ლაბორატორიული გამოკვლევის შედეგები, თან ერთვის წინამდებარე დასკვნას კრებსითი ცხრილის და აგრეთვე კომპრესიული და ძვრაზე გამოცდების გრაფიკების სახით.

ქვემოთ, ცხრილ 1-ში, მოცემულია თიხოვანი გრუნტის (ფენა 2) ძირითადი ფიზიკური მახასიათებლების ცვალებადობის დიაპაზონი და მათი (ნორმატიული) მნიშვნელობები.

ცხრილი 1

| №  | ფიზიკური მახასიათებლები | განხ.    | მიღებულ<br>სიდიდეთა<br>დიაპაზონი | საშუალო<br>(ნორმატიული)<br>მნიშვნელობა |
|----|-------------------------|----------|----------------------------------|--|
|    |                         |          | ფენა 2                           | ფენა 2                                 |
| 1. | პლასტიკურობის რიცხვი    | $I_p$    | -                                | 0.26-0.35                              |
| 2. | ტენიანობა               | W        | %                                | 26.4-33.6                              |
| 3. | გრუნტის                 | $\rho$   | 1.87-1.95                        | 1.85-1.95                              |
|    | მშრალი გრუნტის          | $\rho_d$ | 1.50-1.58                        | 1.42-1.53                              |
|    | გრუნტის ნაწილაკების     | $\rho_s$ | 2.72                             | 2.73                                   |
| 4. | ფორიანობა               | n        | %                                | 43.8-47.9                              |
|    |                         |          |                                  | 46.3                                   |

|    |                        |       |   |             |       |
|----|------------------------|-------|---|-------------|-------|
| 5. | ფორიანობის კოეფიციენტი | $e$   | - | 0.779-0.920 | 0.863 |
| 6. | დენადობის მაჩვენებელი  | $I_L$ | - | 0.16-0.24   | 0.21  |
| 7. | ტენიანობის ხარისხი     | $S_r$ | - | 0.73-0.80   | 0.77  |

ფენა 2-ის გრუნტი ნახევრადმყარი კონსისტენციის ( $\bar{I}_L = 0,21$ ), თიხაა ( $\bar{I}_P = 0,30$ ).

ტენიანობა  $W = 26,4 - 33.6\%$ -ის ფარგლებშია, ფორიანობა  $n = 43,8 - 47,9\%$ , ფორიანობის კოეფიციენტის  $\bar{e} = 0,863$  მნიშვნელობის დროს.

ტენიანობის ხარისხის მიხედვით ( $\bar{S}_r = 0.77 > 0.80$ ), რაც იმის მაჩვენებელია რომ გრუნტის ფორები ნაწილობრივ შევსებულია წყლით.

ფენა 2-ის თიხებზე კომპრესული გამოცდები ჩატარდა ბუნებრივი სიმკვრივის და ტენიანობის ნიმუშებზე,  $\rho = 0.5$  კგძ/სმ<sup>2</sup> საფეხურებრივი დატვირთვით,  $\rho = 4.0$  კგძ/სმ<sup>2</sup>-მდე მიყვანით.

ქვემოთ ცხრილ 2-ში შეტანილია გრუნტის (ფენა 2) ჯდენის მოდულის სიდიდეები  $P = 2.0$  კგძ/სმ<sup>2</sup> დატვირთვაზე (რომლის დროსაც ფასდება გრუნტის კუმშვადობა  $\ell_P$ -ს მიხედვით), აგრეთვე დეფორმაციის თავისუფალი მოდულის მნიშვნელობები  $\rho = 1.0 \div 2.0$  კგძ/სმ<sup>2</sup> დატვირთვის ინტერვალში.

## ცხრილი № 2

| № | ჭაბ.<br>№ | ნიმუშის<br>აღების<br>სიღრმე.<br>$h$ მ | გრაფიკის<br>№<br>ლაბ. № | ჯდენის მოდული<br>$\ell_P$ მმ/მ $p = 3.0$ კგძ/სმ <sup>2</sup><br>დატვირთვისას |  | დეფორმაციის<br>მოდული<br>$P=1.0-2.0$ კგძ/სმ <sup>2</sup><br>დატვირთვების<br>ინტერვალში |
|---|-----------|---------------------------------------|-------------------------|--|--|--|
|   |           |                                       |                         | $p = 2.0$ კგძ/სმ <sup>2</sup>  | $p = 3.0$ კგძ/სმ <sup>2</sup><br>დატვირ-<br>თვისას |  |
| 1 | ჭაბ.№1    | 1.50                                  | $\frac{1}{346}$         | 27   | 33   | <u>160+200+255</u><br>205  |
| 2 | ჭაბ.№2    | 2.00                                  | $\frac{2}{347}$         | 37   | 43   | <u>122+183+224</u><br>176  |
| 3 | ჭაბ.№3    | 1.00                                  | $\frac{3}{348}$         | 34   | 40   | <u>140+160+228</u><br>176  |
| 4 | ჭაბ.№4    | 2.50                                  | $\frac{4}{349}$         | 32   | 38   | <u>180+216+360</u><br>252  |

|                     |        |      |                 |    |    |                           |
|---------------------|--------|------|-----------------|----|----|---------------------------|
| 5                   | ჭაბ.№5 | 1.30 | $\frac{5}{350}$ | 27 | 32 | $\frac{183+280+373}{279}$ |
| 6                   | ჭაბ.№6 | 1.80 | $\frac{6}{351}$ | 24 | 28 | $\frac{183+373+380}{312}$ |
| 7                   | ჭაბ.№8 | 9.0  | $\frac{7}{352}$ | 27 | 33 | $\frac{166+232+323}{264}$ |
| საშუალო მნიშვნელობა |        |      |                 | 30 | 35 | 238                       |

ცხრილში მოცემული მნიშვნელობების მიხედვით გამოკვლეული თიხოვანი გრუნტი (ფენა 2) მიეკუთვნება მომეტებულ კუმშვადს ( $\bar{\ell}_{P3.0} = 35\text{მმ/მ}$  და  $20-60 \text{ მმ/მ-ის}$  დიაპაზონშია), კონკრეტული  $2.0 \text{ კგძ/სმ}^2$  დატვირთვისას (გამოიყენება ანგარიშისათვის) იგივე სიდიდე შეადგენს ( $\bar{\ell}_{P2.0} = 30\text{მმ/მ}$ ). სხვა დატვირთვებისას, ჯდენის მოდულის სიდიდე შეიძლება აღებული იქნეს კომპრესიული გამოცდების გრაფიკებიდან.

დეფორმაციის თავისუფალი მოდულის სიდიდე  $P = 1,0 \div 2,0 \text{ კგძ/სმ}^2$  დატვირთვების დიაპაზონში შეადგენს  $\bar{E} = 238 \text{ კგძ/სმ}^2$  და გამოყენებული იქნება საანგარიშოდ.

ფენა 2-ის გრუნტის ძვრაზე გამოცდები ჩატარდა ბუნებრივი სიმკვრივის და ტენიანობის ნიმუშებზე  $P=0.1; 0.2; 0.3 \text{ მპა}$  დატვირთვებზე.

მიღებულია შემდეგი მნიშვნელობები:

ხვედრითი შეჭიდულობა  $C = 40 - 62 \text{ კპა}$  ( $0.40-0.62 \text{ კგძ/სმ}^2$ );

შინაგანი ხასუნის კუთხე  $\varphi = 16 - 22^\circ$

როგორც აღინიშნა შესავალ ნაწილში, საკვლევ უბანზე გავრცელებული ფენა 3 და 4-ის მსხვილნატეხოვანი გრუნტიდან აღებული იქნა გრუნტის დარღვეული სტრუქტურის 23 ნიმუში, აქედან 17 ნიმუში ფენა 3-ის გრუნტიდან, ხოლო 12 ნიმუში ფენა 4-ის გრუნტიდან. საველე პირობებში განსაზღვრული იყო ფენა 3-ის და ფენა 4-ის სიმკვრივე, ხოლო სტაციონალურ ლაბორატორიაში კი ორივე ფენისათვის გრანუმეტრიული შედგენილობა.

გრუნტებისათვის ფენის სიმკვრივემ შეადგინა:

ფენა 3 -  $\rho = 2.07 \text{ გ/სმ}^3$ ;

ფენა 4 -  $\rho = 2.16 \text{ გ/სმ}^3$ ;

ხოლო გაცხავების შედეგად მიღებული გრანუმეტრიული შედგენილობის შედეგები მოცემულია ცხრილ №3

ცხრილი 3

| გრანულობის<br>ზომების   | >10   |       | 10-5  |       | 5-2   |       | <2    |       |
|-------------------------|-------|-------|-------|-------|-------|-------|-------|-------|
|                         | ფენა3 | ფენა4 | ფენა3 | ფენა4 | ფენა3 | ფენა4 | ფენა3 | ფენა4 |
| პროცენტული<br>რაოდენობა | 45.4  | 59.5  | 18.8  | 20.2  | 10.9  | 11.0  | 24.9  | 9.3   |

სტაციონალურ ლაბორატორიაში ფენა 3-ის მსხვილნატეხოვანი გრუნტის ნიმუშებზე განისაზღვრა შემავსებლის ბუნებრივი ტენიანობა, პლასტიკურობის რიცხვი და კონსისტენცია. ბუნებრივი ტენიანობა  $W = 8.2\%$ -ია. პლასტიკურობის რიცხვის ( $\bar{I}_p = 0.13$ ) მიხედვით ფენა 3-ის მსხვილნატეხოვანი გრუნტის შემავსებელი თიხნარია, მყარი ( $\bar{I}_L < 0$ ) კონსისტენციის. გრუნტისათვის სიმტკიცის მახასიათებლები აღებულია პნ 02.01-08 დანართი 3, ცხრილი 1 და 3-დან და მოყვანილი იქნება საინჟინრო გეოლოგიური ანგარიშის დასკვნით ნაწილში.

## დასკვნები და რეკომენდაციები

ყოველივე ზემოთაღნიშნულიდან გამომდინარე შეიძლება დავასკვნათ შემდეგი:

1. საინჟინრო გეოლოგიური თვალსაზრისით, გამოკვლეული ყარიშის, სკიამურის და ლესემას სათავეების უბნები დამაკმაყოფილებელ მდგომარეობაშია, ვინაიდან როგორც გამოკვლეულ უბნებზე, ისე მის მიმდებარე ტერიტორიაზე რაიმე უარყოფითი საინჟინრო გეოლოგიური პროცესები (მეწყერი, კარსტი, ჩაქცევები და სხვა) არ აღინიშნება.

საინჟინრო-გეოლოგიური პირობების სირთულის მიხედვით ს.ნ და წ 1.02.07-87 მე-10 დანართის თანახმად გამოკვლეული უბნები მიეკუთვნებიან:

- ყარიშის სათვე - II კატეგორიას, საშუალო სირთულის;
- სკიამურის და ლესემას სათავეები – I კატეგორიას, მარტივი სირთული.

2. სამშენებლო თვისებების მიხედვით, გამოკვლეული უბნების გეოლოგიურ ჭრილში, შეიძლება გამოვყოთ სამი საინჟინრო გეოლოგიური ელემენტი (ს.გ.ე)

I ს.გ.ე - თიხა (ფენა 2);

II ს.გ.ე – მსხვილნატეხოვანი გრუნტი (ფენა 3);

III ს.გ.ე - მსხვილნატეხოვანი გრუნტი (ფენა 4);

3. დასაპროექტებელი შენობა ნაგებობების ტექნიკური მახასიათებლებიდან და გამოკვლეული სამშენებლო უბნების საინჟინრო გეოლოგიური აგებულებიდან გამომდინარე ფუძე გრუნტებად შეიძლება მიღებულ იქნას სამივე საინჟინრო გეოლოგიური ელემენტის გრუნტები – ფენა 2-ის თიხები და ფენა 3 და 4-ის მსხვილნატეხოვანი გრუნტი.

საძირკვლის ტიპად მიღებული იქნეს ტექნიკურ დაგალებით გათვალისწინებული ჩვეულებრივი საძირკვლები – ლენტური, წერტილოვანი (ცალკემდგომი), მონოლითური ფილა.

4. ქვემოთ ცხრილ №4-ში მოცემულია სამივე საინჟინრო გეოლოგიური ელემენტის გრუნტების ნორმატიული ფიზიკურ-მექანიკური მნიშვნელობები, მიღებული ლაბორატორიული გამოკვლევების, პნ 02.01-08, საფინდო მასალების და საცნობარო ლიტერატურის (დამპროექტებლის საანგარიშო თეორიული ცნობარი) საფუძველზე.

#### ცხრილი 4

| №<br>№ | გრუნტის მახასიათებლები                          | საანგარიშო მნიშვნელობები |                 |                   |
|--------|---|--------------------------|-----------------|-------------------|
|        |   | I სგე<br>ფენა 2          | II სგ<br>ფენა 3 | III სგე<br>ფენა 4 |
| 1.     | სიმკერივე $\rho$ - გ/სმ <sup>3</sup> ;          | 1.90                     | 2.07            | 2.16              |
| 2.     | შინაგანი ხახუნის კუთხე $\varphi^0$              | 18                       | 37              | 38                |
| 3.     | ხვედრითი შეჭიდულობა $C$ კა(კგ/სმ <sup>2</sup> ) | 48<br>(0.48)             | 3<br>(0.03)     | 5<br>(0.05)       |
| 4.     | დეფორმაციის მოდული $E$ მპა(კგ/სმ <sup>2</sup> ) | 24<br>(240)              | 45<br>(450)     | 50<br>(500)       |

|    |   |              |              |              |
|----|---|--------------|--------------|--------------|
| 5. | პირობითი საანგარიშო წინაღობა $R_0$ -კპა<br>(კგ/სტ <sup>2</sup> ); | 260<br>(2.6) | 400<br>(4.0) | 450<br>(4.5) |
| 6. | საგების კოეფიციენტი $K$ -კგ/სტ <sup>3</sup>                       | 3.0          | 7.0          | 7.0          |
| 7. | პუსონის კოეფიციენტი $\mu$   | 0.42         | 0.27         | 0.27         |
| 8. | გრუნტის სეზონური გაყინვის ნორმატიული<br>სიღრმე $\theta$           | 0.36         | 0.54         | 0.54         |

5. პიდროგეოლოგიური თვალსაზრისით გამოკვლეული სამშენებლო უბნები გამოკვლეულ 4.0-7.00 მეტრის სიღრმემდე ხასიათდება გრუნტის წყლის არ არსებობით (IX. 2019 წელი).

6. მაღალმთიან რეგიონებში მშენებლობის პრაქტიკიდან გამომდინარე ქვაბულის გახსნისას შეიძლება ადგილი პქონდეს ნაპრალოვანი წყლების გამოვლინებას, რის შემთხვევაშიც საჭირი გახდება წყალამრიდი სამუშაოების ჩატარება.

7. პ.6 01.01-09-ის “სეისმომედეგი მშენებლობა” თანახმად ლენტების მუნიციპალიტეტის დაბა ლენტები, სოფელი ყასიში და ლესემა მდებარეობს 9 ბალიან სეისმურობის ზონაში. ამავე ნორმატიული დოკუმენტის ცხრილი 1-ის თანახმად, სამშენებლო გრუნტები, სეისმური თვისებების მიხედვით მიეკუთვნებიან II კატეგორიას.

სამშენებლო მოედნის სეისმურობად მიღებული იქნეს 9 ბალი, ხორც სეისმურობის უგანზომილებო კოეფიციენტი  $A = 0.38$ -ის ტოლის.

8. ქვაბულის და ტრანშეების ფერდოების მაქსიმალური დასაშვები დახრა მიღებული იქნეს ს.6 და წ 3.02.01-87-ის პ.პ. 3.11; 3.15 პუნქტების და აგრეთვე ს.6 და წ III -4.80 მე-9 თავის მოთხოვნათა გათვალისწინებით.

9. გამოკვლეულ სამშენებლო მოედნებზე გავრცელებული გრუნტები ს.6 და წ IV-2-82 I-I ცხრილის თანახმად მიეკუთვნებიან:

ა) ნიადაგის ფენა (ფენა 1) - სამივე სახეობით დამუშავებისას (ერთციცხვიანი ექსკავატორით, ბულდოზერით და ხელით) - I ჯგუფს, საშუალო სიმკვრივით - 1200 კგ/მ<sup>3</sup> (რN<sup>o</sup>24<sup>o</sup>).

ბ) თიხა (ფენა 2) - სამივე სახეობით დამუშავებისას III ჯგუფს, საშუალო სიმკვრივით - 1900 კგ/მ<sup>3</sup> (რN<sup>o</sup>8<sup>o</sup>).

გ) მსხვილნატებოვანი გრუნტი (ფენა 3)) – სამივე სახეობით დამუშავებისას - IV ჯგუფს, საშუალო სიმკვრივით 2070 კგ/მ<sup>3</sup> (ვუტოლებთ 6<sup>o</sup>).

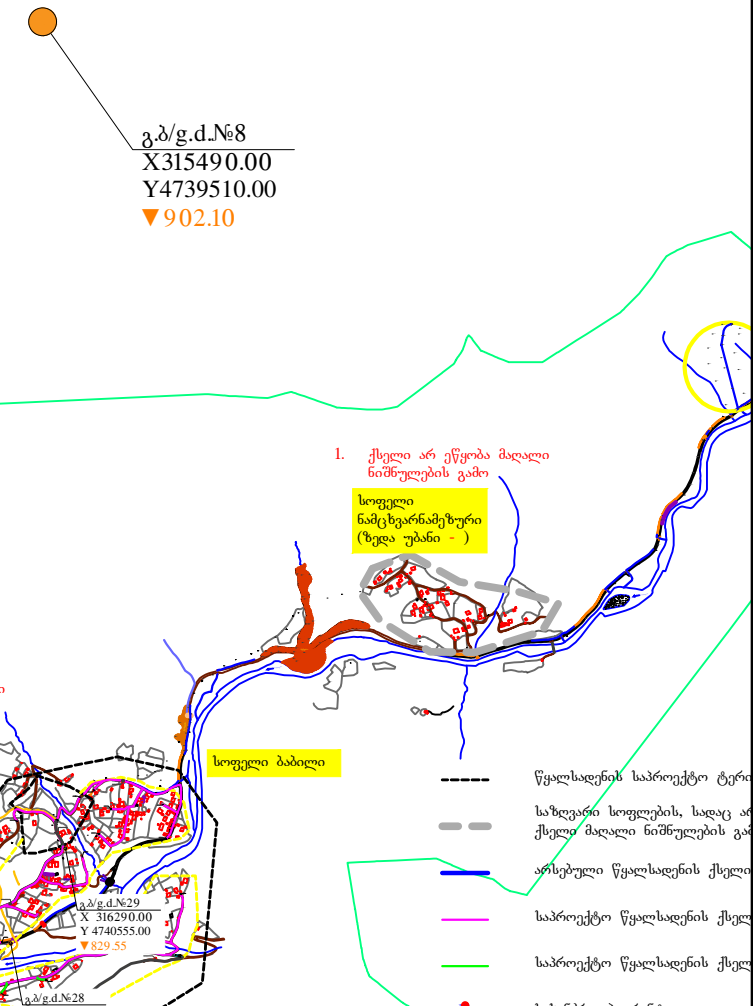
დ) მსხვილნატებოვანი გრუნტი (ფენა 4) - ბულდოზერით IVI ჯგუფს, ერთციცხვიანი ექსკავატორით და ხელით V ჯგუფს, საშუალო სიმკვრივით 2160 კგ/მ<sup>3</sup> (ვუტოლებთ 6დ).

ინჟინერ გეოლოგი

გოჩა ტატინაშვილი

დაბა ლენტეხის წყალმომარაგების სისტემის  
რეაბილიტაცია  
გენ-გეგმა გეოლოგიური ბურღილებისა და  
კოორდინატების დატანით  
მ 1:20000

გეოლოგიური ბურღილი კოორდინატებით



დაბა ლენტეხის წყალმომარაგების სისტემის რეაბილიტაცია

წყალმომარაგების სისტემის ტოპოგრაფიული გეგმა  
ბურღილებისა და კოორდინატების დატანით  
1:20000

თარიღი/Date

02.10.2019

Drawing №

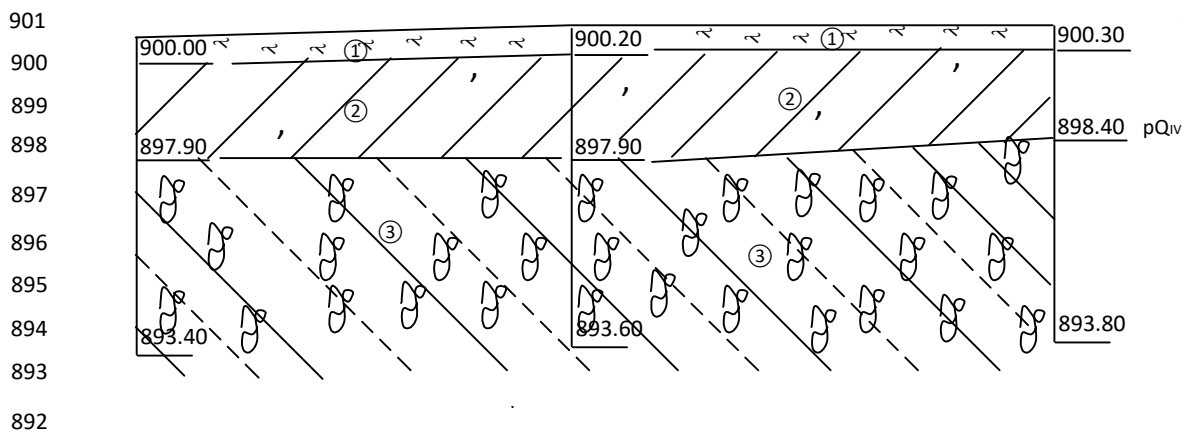
ტე-2

| გენერაცია № | ვენის<br>სიღრმე |      | ვენის<br>სიმძლავრე | მიწის<br>ზედაპირის<br>და ვენის<br>ჭრის<br>ნაშენელი | კრიოლი<br>მ-ბი<br>1:100 | მიწის<br>ზედაპირის<br>და ვენის<br>ჭრის<br>ნაშენელი | გრუნტის<br>წყლის დონე<br>და გაზიმვის<br>თარიღი |     |     |
|-------------|-----------------|------|--------------------|--|-------------------------|--|--|-----|-----|
|             | დან             | მდე  |                    |  |                         |  |  | გამ | დამ |
| 1           | 0.00            | 0.40 | 0.40               | 900.00   | ~(1)                    |  |  |     |     |
| 2           | 0.40            | 2.50 | 2.10               | 897.90   | ~(2)                    | ნახევრად<br>მყარი                                  |  |     |     |
| 3           | 2.50            | 7.00 | 4.50               | 893.40   | (3)                     |  |  |     |     |

| გენერაცია № | ვენის<br>სიღრმე |      | ვენის<br>სიმძლავრე | მიწის<br>ზედაპირის<br>და ვენის<br>ჭრის<br>ნაშენელი | კრიოლი<br>მ-ბი<br>1:100 | მიწის<br>ზედაპირის<br>და ვენის<br>ჭრის<br>ნაშენელი | გრუნტის<br>წყლის დონე<br>და გაზიმვის<br>თარიღი |     |     |
|-------------|-----------------|------|--------------------|--|-------------------------|--|--|-----|-----|
|             | დან             | მდე  |                    |  |                         |  |  | გამ | დამ |
| 1           | 0.00            | 0.40 | 0.40               | 900.20   | ~(1)                    |  |  |     |     |
| 2           | 0.40            | 2.70 | 2.30               | 897.90   | ~(2)                    | ნახევრად<br>მყარი                                  |  |     |     |
| 3           | 2.70            | 7.00 | 4.30               | 893.60   | (3)                     |  |  |     |     |

| გენერაცია № | ვენის<br>სიღრმე |      | ვენის<br>სიმძლავრე | მიწის<br>ზედაპირის<br>და ვენის<br>ჭრის<br>ნაშენელი | კრიოლი<br>მ-ბი<br>1:100 | მიწის<br>ზედაპირის<br>და ვენის<br>ჭრის<br>ნაშენელი | გრუნტის<br>წყლის დონე<br>და გაზიმვის<br>თარიღი |     |     |
|-------------|-----------------|------|--------------------|--|-------------------------|--|--|-----|-----|
|             | დან             | მდე  |                    |  |                         |  |  | გამ | დამ |
| 1           | 0.00            | 0.50 | 0.50               | 900.30   | ~(1)                    |  |  |     |     |
| 2           | 0.50            | 2.40 | 1.90               | 898.40   | ~(2)                    | ნახევრად<br>მყარი                                  |  |     |     |
| 3           | 2.40            | 7.00 | 4.90               | 893.80   | (3)                     |  |  |     |     |

## ჭრილი 1-2-3



| გამონამუშავების № | გენერაცია № |              | მიწის<br>ზედაპირის<br>ნაშენელი                 | მანძილი მ-ბი            |
|-------------------|-------------|--------------|--|-------------------------|
|                   | გენერაცია № | მანძილი მ-ბი |  |                         |
| გენერაცია №1      | 900.40      | 9.00         | გრუნტის<br>წყლის დონე<br>და გაზიმვის<br>თარიღი | კრიოლი<br>მ-ბი<br>1:100 |
| გენერაცია №2      | 900.60      | 10.00        | გრუნტის<br>წყლის დონე<br>და გაზიმვის<br>თარიღი | კრიოლი<br>მ-ბი<br>1:100 |
| გენერაცია №3      | 900.80      |              | გრუნტის<br>წყლის დონე<br>და გაზიმვის<br>თარიღი | კრიოლი<br>მ-ბი<br>1:100 |

## პირობითი აღნიშვნები

1-2-3

60ადაპტ 306ა

თიხა, ლია გავისურიდან მუქ გავისურიდან,  
გადამდებრული, ვერილი და მხხვილი  
ვრაძვილის ხ306პის და ღორდის გ06არვ300 15-  
25%-გვე

მსხვილნატერვანი გრუნტი თიხარამდე  
გ06არვ300 20-30%-გვე

მსხვილნატერვანი გრუნტი თიხ0ა60  
გვიზის გვავავსებლით 10%-გვე

გრუნტის დაუღვევებლი სტრუქტურის  
გ08ურის (გ06რლ0010) აღგის აღგ0ლი

გრუნტის დაღვეული სტრუქტურის გ08ურის  
აღგის აღგ0ლი

# I. ყარიშის სათავე საქლოროტაროს უბანი

δN4

| N<br>გეგმის<br>ნომერი | გეგმის<br>სიღრმე | მიწის<br>ზედაპირის<br>და ფენის<br>ჭირის<br>ნოშენელი |      | გრძილი<br>მ-ბი<br>1:100 | გრუნტის<br>წყლის დონე<br>და გაზომვის<br>თარიღი |                   |
|-----------------------|------------------|---|------|-------------------------|--|-------------------|
|                       |                  | დან   | მდე  |                         | გამ  | დამ               |
| 1                     | 0.00             | 0.50  | 0.50 | 900.90                  | ~(1)~  |                   |
| 2                     | 0.50             | 2.80  | 2.30 | 898.60                  | ~, (2)   | ნახევრად<br>მყარი |
| 3                     | 2.80             | 6.00  | 3.20 | 895.40                  | (3)  |                   |

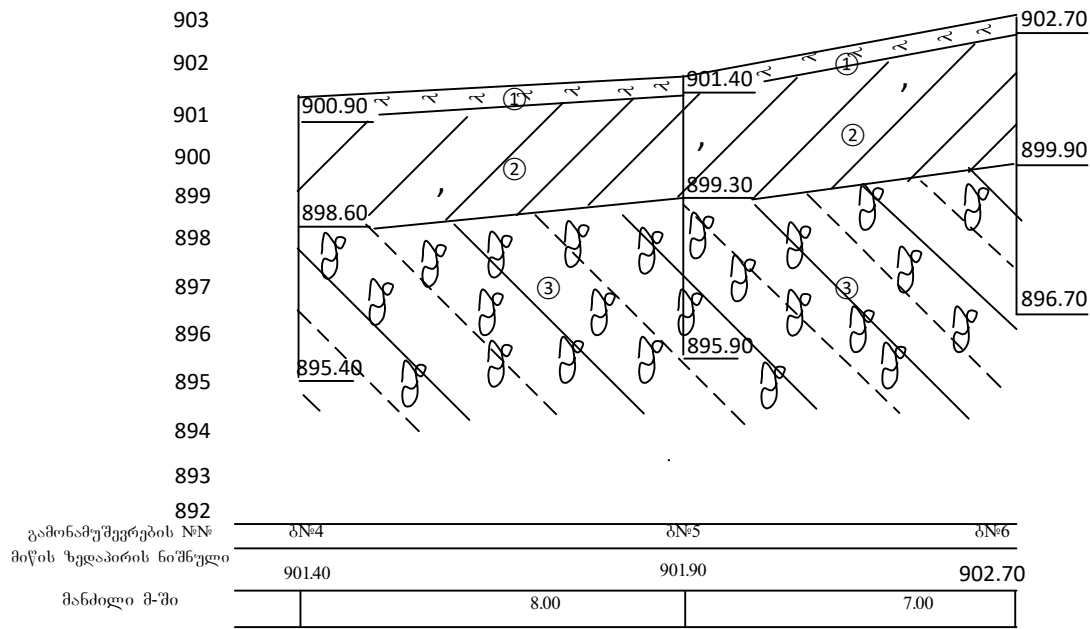
δN5

| N<br>გეგმის<br>ნომერი | გეგმის<br>სიღრმე | მიწის<br>ზედაპირის<br>და ფენის<br>ჭირის<br>ნოშენელი |      | გრძილი<br>მ-ბი<br>1:100 | გრუნტის<br>წყლის დონე<br>და გაზომვის<br>თარიღი |                   |
|-----------------------|------------------|---|------|-------------------------|--|-------------------|
|                       |                  | დან   | მდე  |                         | გამ  | დამ               |
| 1                     | 0.00             | 0.50  | 0.50 | 901.40                  | ~(1)~  |                   |
| 2                     | 0.50             | 2.60  | 2.10 | 899.30                  | ~, (2)   | ნახევრად<br>მყარი |
| 3                     | 2.60             | 6.00  | 3.40 | 895.90                  | (3)  |                   |

δN6

| N<br>გეგმის<br>ნომერი | გეგმის<br>სიღრმე | მიწის<br>ზედაპირის<br>და ფენის<br>ჭირის<br>ნოშენელი |      | გრძილი<br>მ-ბი<br>1:100 | გრუნტის<br>წყლის დონე<br>და გაზომვის<br>თარიღი |                   |
|-----------------------|------------------|---|------|-------------------------|--|-------------------|
|                       |                  | დან   | მდე  |                         | გამ  | დამ               |
| 1                     | 0.00             | 0.40  | 0.40 | 902.30                  | ~(1)~  |                   |
| 2                     | 0.40             | 2.80  | 2.40 | 899.90                  | ~, (2)   | ნახევრად<br>მყარი |
| 3                     | 2.80             | 6.00  | 3.20 | 896.70                  | (3)  |                   |

## ჰოილი 4-5-6



## I. ყარიშის სათავე სადარაჯოს უბანი

δΝ°7

| მდგრადი | ფენის<br>ხილომეტრი |      | მდგრადის<br>ზედაპირის<br>და ფენის<br>მართვის<br>ნომერი | კრიოკო<br>მ-ბი<br>1:100 | გრუნტის<br>წყლის დონე<br>და გაზომების<br>თარიღი | გრუნტის<br>წყლის დონე<br>და გაზომების<br>თარიღი |       |
|---------|--------------------|------|--|-------------------------|---|---|-------|
|         | დან                | დაგ  |  |                         |   | გრადი   | გრადი |
| 1       | 0.00               | 0.50 | 0.50   | 901.70                  | <(1)>   |   |       |
| 2       | 0.50               | 2.40 | 1.90   | 899.80                  | '(2)  | ნახევრად<br>მქარი                               |       |
| 3       | 2.40               | 4.00 | 1.60   | 898.20                  |   |   |       |

30

| მდგრადის №№ |      | ვენის სიღრმე |              | მიწის ხედავარის და ვენის ძირის ნიშვნები |                 | ჭრილი მ-ბი<br>1:100 | მიწის გენერიკული ტენიანობის და გამომცველის თარიღი | გრუნტის წყლის დონე და გამომცველის თარიღი |  |
|-------------|------|--------------|--------------|---|-----------------|---------------------|---|--|--|
| ვენის       | დან  | მდე          | ვენის სიღრმე | 902.60                                  | გამომცველის დან | გამომცველის მდე     |   |  |  |
| 1           | 0.00 | 0.50         | 0.50         | 902.10                                  | ~(1)~           |                     |   |  |  |
| 2           | 0.50 | 2.70         | 2.20         | 899.90                                  | ~(2)~           |                     | ნახევრად მქარი                                    |  |  |
| 3           | 2.70 | 4.00         | 1.30         | 898.60                                  | ~(3)~           |                     |   |  |  |

გამონამუშევრების №№  
მიწის ზედაპირის ნიშნული

განძილი გ-ში

## II. Եզօամյրության սառացք և սպառաբանություն

3 № 9

| ՀԱՅՈՂԻ ՆԱԽ     |                | ՀԱՅՈՂԻ ՏԵՇԱՐՄԻ |                | ՀԱՅՈՂԻ ՏԵՇԱՐՄԻ |                | ՀԱՅՈՂԻ ՏԵՇԱՐՄԻ |                |
|----------------|----------------|----------------|----------------|----------------|----------------|----------------|----------------|
| ՀԱՅՈՂԻ ՏԵՇԱՐՄԻ |
| 1              | 0.00           | 0.50           | 0.50           | 988.30         | ՀՀ 1:          | ՀՅԱՆԻ ՏԵՇԱՐՄԻ  | ՀՐԱՄԱՆ         |
| 2              | 0.50           | 6.00           | 5.50           | 782.80         | ՀՀ 2:          | ՀՅԱՆԻ ՏԵՇԱՐՄԻ  | ՀՐԱՄԱՆ         |

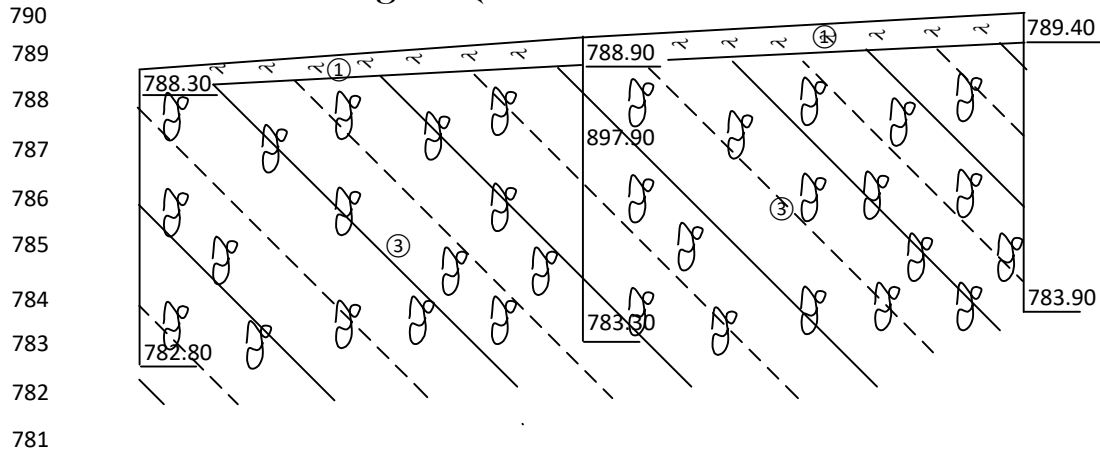
δNº 10

δNº 11

| ԳՅՈՒՆՈՒԹՅԱՆ<br>ՆՈՏԱԿԱՆ<br>ՀԱՐԴԻԿԱՆ |      | ՀԱՐԴԻԿԱՆ |      | ՀԱՐԴԻԿԱՆ |       | ՀԱՐԴԻԿԱՆ      |               |
|------------------------------------|------|----------|------|----------|-------|---------------|---------------|
| ՀԱՐԴԻԿԱՆ                           |      | ՀԱՐԴԻԿԱՆ |      | ՀԱՐԴԻԿԱՆ |       | ՀԱՐԴԻԿԱՆ      |               |
| 1                                  | 0.00 | 0.50     | 0.50 | 789.40   | 1:100 | Ըստ պահանջման | Ըստ պահանջման |
| 2                                  | 0.50 | 6.00     | 5.50 | 783.90   |       |               |               |

ଓଡ଼ିଆ ଲେଖଣି

### ჭრილი 9-10-11



| გამონამუშევრების №№     | δN9    | δN10   | δN11   |
|-------------------------|--------|--------|--------|
| მიწის ზედაპირის ნიშნული | 788.80 | 789.30 | 789.90 |
| მანძილი მ-ში            |        | 9.00   | 9.00   |

### III. ლესემას სათავე სადარაჯოს უბანი

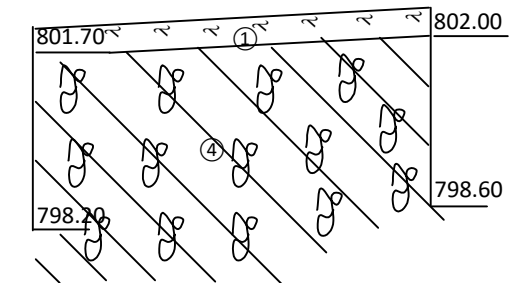
δN12

| კვეთის №№        | ვენის სიღრმე |       | სიმძლავრე | მიწის ზედაპირის და ვენის მიწის ნიშნული | ჭრილი მ-ბი 1:100 | კინიტექნიკა | ტექნიკის მიწის დონე და გაზიმების თარიღი |
|------------------|--------------|-------|-----------|--|------------------|-------------|---|
|                  | დან          | მდე   |           |  |                  |             |   |
| 1.000 0.50 0.50  | 801.70       | ~(1)~ |           |  |                  |             |   |
| 2 0.50 4.00 3.50 | 798.20       | ~(4)~ |           |  |                  |             |   |

δN13

| კვეთის №№        | ვენის სიღრმე |       | სიმძლავრე | მიწის ზედაპირის და ვენის მიწის ნიშნული | ჭრილი მ-ბი 1:100 | კინიტექნიკა | ტექნიკის მიწის დონე და გაზიმების თარიღი |
|------------------|--------------|-------|-----------|--|------------------|-------------|---|
|                  | დან          | მდე   |           |  |                  |             |   |
| 1 0.00 0.60 0.60 | 802.00       | ~(1)~ |           |  |                  |             |   |
| 2 0.60 4.00 3.40 | 798.60       | ~(4)~ |           |  |                  |             |   |

### ჭრილი 12-13



| გამონამუშევრების №№     | δN12   | δN13   |
|-------------------------|--------|--------|
| მიწის ზედაპირის ნიშნული | 802.00 | 802.60 |
| მანძილი მ-ში            |        | 8.00   |

### III. ლესემას სათავე რეზერვუარის უბანი

δN14

| ვენის №№ | ფენის<br>სიღრმე |      | გენის<br>სიმძლავე | მიწის<br>ზედაპირის<br>და ფენის<br>ჰირს<br>ნოშელი | ჭრილი<br>მ-ში<br>1:100 | გრუნტის<br>წყლის დონე<br>და გაზომვის<br>თარიღი |  |
|----------|-----------------|------|-------------------|--|------------------------|--|--|
|          | დან             | დღე  |                   |  |                        |  |  |
| 1        | 0.00            | 0.50 | 0.50              | 802.80   | ~(1)~                  |  |  |
| 2        | 0.50            | 7.00 | 6.50              | 796.30   | ~(4)~                  |  |  |

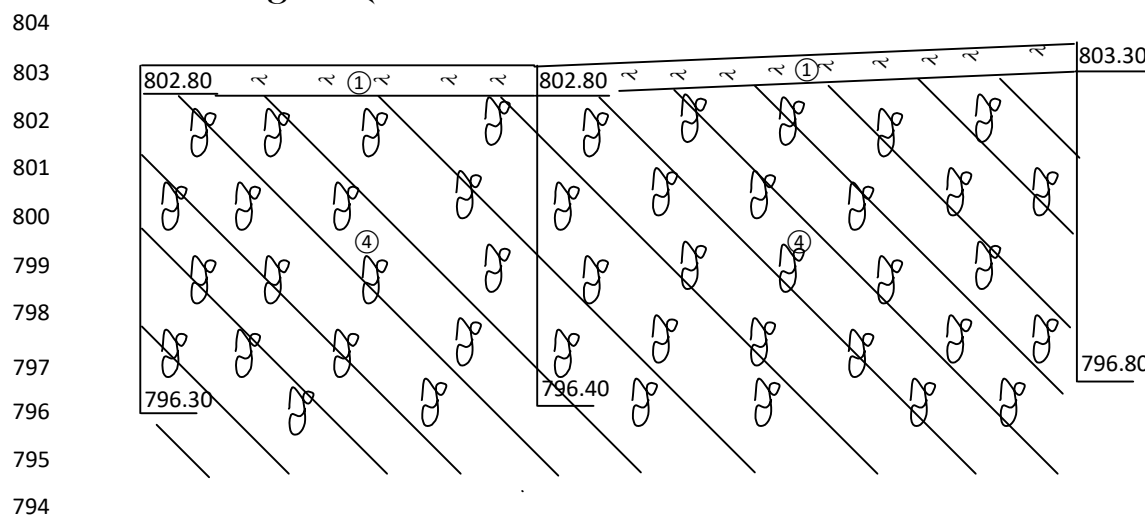
δN15

| ვენის №№ | ფენის<br>სიღრმე |      | გენის<br>სიმძლავე | მიწის<br>ზედაპირის<br>და ფენის<br>ჰირს<br>ნოშელი | ჭრილი<br>მ-ში<br>1:100 | გრუნტის<br>წყლის დონე<br>და გაზომვის<br>თარიღი |  |
|----------|-----------------|------|-------------------|--|------------------------|--|--|
|          | დან             | დღე  |                   |  |                        |  |  |
| 1        | 0.00            | 0.60 | 0.60              | 802.80   | ~(1)~                  |  |  |
| 2        | 0.60            | 7.00 | 6.40              | 796.40   | ~(4)~                  |  |  |

δN16

| ვენის №№ | ფენის<br>სიღრმე |      | გენის<br>სიმძლავე | მიწის<br>ზედაპირის<br>და ფენის<br>ჰირს<br>ნოშელი | ჭრილი<br>მ-ში<br>1:100 | გრუნტის<br>წყლის დონე<br>და გაზომვის<br>თარიღი |  |
|----------|-----------------|------|-------------------|--|------------------------|--|--|
|          | დან             | დღე  |                   |  |                        |  |  |
| 1        | 0.00            | 0.50 | 0.50              | 803.30   | ~(1)~                  |  |  |
| 2        | 0.50            | 7.00 | 6.50              | 796.80   | ~(4)~                  |  |  |

ჭრილი 14-15-16



გამზირული მუშაობის №№  
მიწის ზედაპირის ნოშელი

δN14

δN15

δN16

803.30

802.40

803.80

მანძილი მ-ში

8.00

11.00

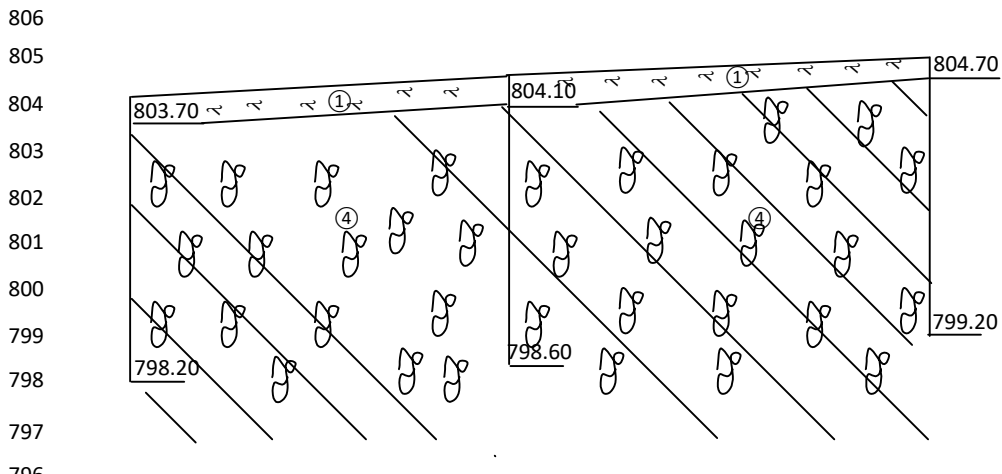
### III. ლესემას სათავე საქლოროგაროს უბანი

| გენოს №№ | ვენის ხილომეტრები |      | მიწის ზედაპირის და ფენის ჭირის ნოშენელი | ჭრილი მ-ბი<br>1:100 | კონსენტრაცია<br>ტენიანიანა/ | გრუნტის წყლის დონე და გაზომების თარიღი |
|----------|-------------------|------|---|---------------------|-----------------------------|--|
|          | დან               | მდე  |   |                     |                             |  |
|          | 0.50              | 0.50 | 804.20                                  | ~(1)~<br>④          |                             |  |
| 1        | 0.00              | 0.50 | 803.70                                  | ~(1)~<br>④          |                             |  |
| 2        | 0.50              | 6.00 | 5.50                                    | 798.20              | ~(1)~<br>④                  |  |

| გენოს №№ | ვენის ხილომეტრები |      | მიწის ზედაპირის და ფენის ჭირის ნოშენელი | ჭრილი მ-ბი<br>1:100 | კონსენტრაცია<br>ტენიანიანა/ | გრუნტის წყლის დონე და გაზომების თარიღი |
|----------|-------------------|------|---|---------------------|-----------------------------|--|
|          | დან               | მდე  |   |                     |                             |  |
|          | 0.50              | 0.50 | 804.60                                  | ~(1)~<br>④          |                             |  |
| 1        | 0.00              | 0.50 | 804.10                                  | ~(1)~<br>④          |                             |  |
| 2        | 0.50              | 6.00 | 5.50                                    | 798.60              | ~(1)~<br>④                  |  |

| გენოს №№ | ვენის ხილომეტრები |      | მიწის ზედაპირის და ფენის ჭირის ნოშენელი | ჭრილი მ-ბი<br>1:100 | კონსენტრაცია<br>ტენიანიანა/ | გრუნტის წყლის დონე და გაზომების თარიღი |
|----------|-------------------|------|---|---------------------|-----------------------------|--|
|          | დან               | მდე  |   |                     |                             |  |
|          | 0.50              | 0.50 | 805.20                                  | ~(1)~<br>④          |                             |  |
| 1        | 0.00              | 0.50 | 804.70                                  | ~(1)~<br>④          |                             |  |
| 2        | 0.50              | 6.00 | 5.50                                    | 799.20              | ~(1)~<br>④                  |  |

ჭრილი 17-18-19



გამონაშუშერების №№  
მიწის ზედაპირის ნოშენელი

| მანილი მ-ში | გენ. 17 | გენ. 18 | გენ. 19 |
|-------------|---------|---------|---------|
| 804.20      | 804.20  | 804.60  | 805.20  |
| მანილი მ-ში | 8.00    | 9.00    |         |



| №27               |                   |                 |         |           |  |          |
|-------------------|-------------------|-----------------|---------|-----------|--|----------|
| Номер<br>записи   |                   | Виды<br>изделий |         | Материалы |  | Описание |
| номер<br>предмета | номер<br>предмета | размеры         | размеры | размеры   | размеры  |          |
| 1                 | 0.00              | 0.80            | 0.80    | 736.10    | (1)<br> |          |
| 2                 | 0.80              | 5.00            | 4.20    | 731.90    |  |          |

| №28               |                   |                 |         |           |  |          |
|-------------------|-------------------|-----------------|---------|-----------|--|----------|
| Номер<br>записи   |                   | Виды<br>изделий |         | Материалы |  | Описание |
| номер<br>предмета | номер<br>предмета | размеры         | размеры | размеры   | размеры  |          |
| 1                 | 0.00              | 1.00            | 1.00    | 734.40    | (1)<br> |          |
| 2                 | 1.00              | 5.00            | 4.00    | 730.40    |  |          |

| №29               |                   |                 |         |           |  |          |
|-------------------|-------------------|-----------------|---------|-----------|--|----------|
| Номер<br>записи   |                   | Виды<br>изделий |         | Материалы |  | Описание |
| номер<br>предмета | номер<br>предмета | размеры         | размеры | размеры   | размеры  |          |
| 1                 | 0.00              | 0.50            | 0.50    | 736.00    | (1)<br> |          |
| 2                 | 0.50              | 5.00            | 4.50    | 731.50    |  |          |

| №30               |                   |                 |         |           |   |          |
|-------------------|-------------------|-----------------|---------|-----------|---|----------|
| Номер<br>записи   |                   | Виды<br>изделий |         | Материалы |   | Описание |
| номер<br>предмета | номер<br>предмета | размеры         | размеры | размеры   | размеры   |          |
| 1                 | 0.00              | 0.60            | 0.60    | 919.10    | (1)<br> |          |
| 2                 | 0.60              | 5.00            | 4.40    | 914.70    |   |          |

| №31               |                   |                 |         |           |   |          |
|-------------------|-------------------|-----------------|---------|-----------|---|----------|
| Номер<br>записи   |                   | Виды<br>изделий |         | Материалы |   | Описание |
| номер<br>предмета | номер<br>предмета | размеры         | размеры | размеры   | размеры   |          |
| 1                 | 0.00              | 0.70            | 0.70    | 766.80    | (1)<br> |          |
| 2                 | 0.70              | 5.00            | 4.30    | 762.50    |   |          |

| №32               |                   |                 |         |           |   |          |
|-------------------|-------------------|-----------------|---------|-----------|---|----------|
| Номер<br>записи   |                   | Виды<br>изделий |         | Материалы |   | Описание |
| номер<br>предмета | номер<br>предмета | размеры         | размеры | размеры   | размеры   |          |
| 1                 | 0.00              | 0.90            | 0.90    | 828.70    | (1)<br> |          |
| 2                 | 0.90              | 5.00            | 4.10    | 823.70    |   |          |

# გრუნტის კომპრესიული გამოცდის

## შედებები

ობიექტის

დასახელება

ჰაბურღილი № 1

დაბა ლენტესის ზეალმომარაგების

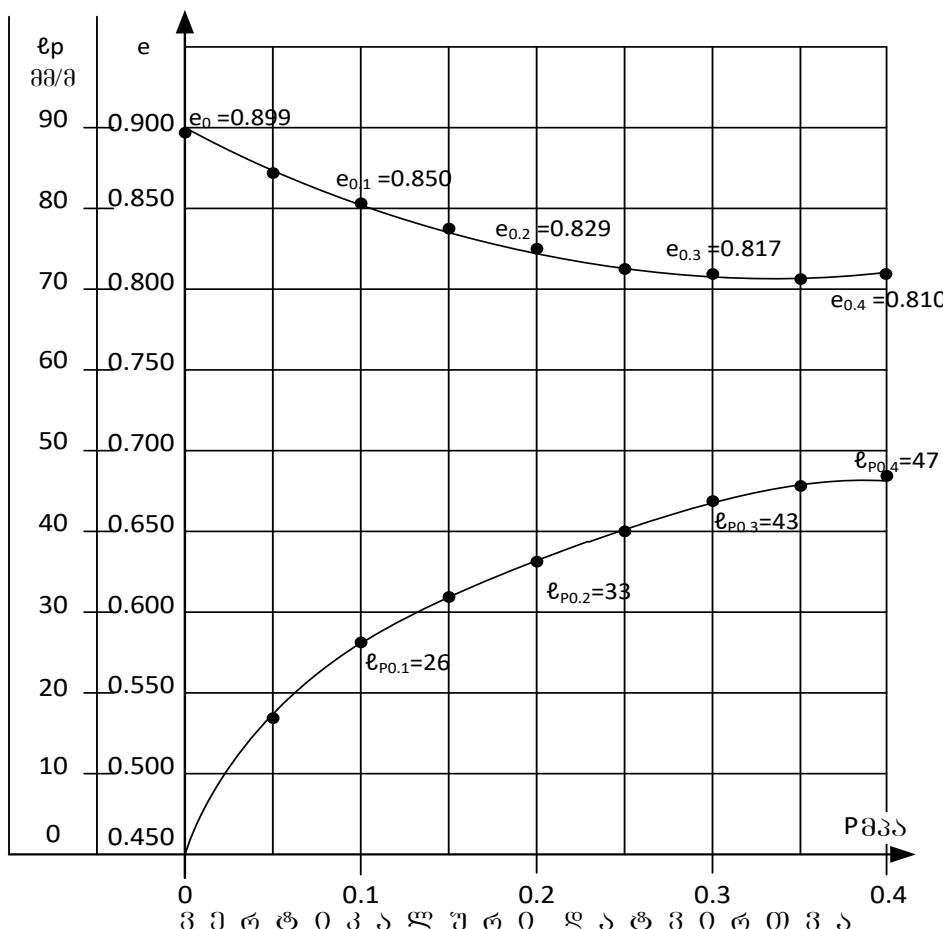
სისტემის რეაბილიტაცია

აღმაგის სიღრმე  $h = 1,50$  მ ნიმუშის სახე: მონოლითი ლაბორ № 346

ცდა ჩატარდა გუნდის სიმკვრივის და

გრაფიკი № 1

ტენიანობის ნიმუში



| გრუნტის ფიზიკური მახასიათებლები |                  |                | საჭ.  | საბ.  |
|---------------------------------|------------------|----------------|-------|-------|
| გუნდის ფართი                    | W                | %              | 31,5  | 28,8  |
| სიმკვრივე                       | გრუნტის          | ρ              | 1,89  | 1,94  |
|                                 | გუნდის           | ρ <sub>d</sub> | 1,44  | 1,51  |
|                                 | გრუნტის ნაწილაპ. | ρ <sub>s</sub> |       | 2,73  |
| ფორმის მახასიათებლები           | n                | %              | 47,4  | 44,7  |
| ფორმის კოეფიციენტი              | e                | -              | 0,899 | 0,808 |
| ტენიანობის ხარისხი              | S <sub>r</sub>   | -              | 0,76  | 0,97  |
| გუნდის კუსონება                 | ზედა ზღვარი      | W <sub>L</sub> | -     | 0,55  |
|                                 | ქვედა ზღვარი     | W <sub>p</sub> | -     | 0,24  |
|                                 | რიცხვი           | I <sub>p</sub> | -     | 0,31  |
| კონსისტენციის მაჩვენებელი       | I <sub>L</sub>   | -              | 0,24  | 0,15  |

გრუნტის დასახელება კლასტი-კურობის რიცხვის მიხედვით

I<sub>p</sub> 0,31 თიხა

|                                |                |                   |       |       |       |       |       |       |       |       |       |
|--------------------------------|----------------|-------------------|-------|-------|-------|-------|-------|-------|-------|-------|-------|
| ვერტიკალური დატვირთვა          | P              | მკა               | 0     | 0,05  | 0,1   | 0,15  | 0,2   | 0,25  | 0,3   | 0,35  | 0,4   |
| ვორიანობის კოეფიციენტი         | e              | -                 | 0,899 | 0,864 | 0,850 | 0,838 | 0,829 | 0,823 | 0,817 | 0,814 | 0,810 |
| კლეინის მოდული                 | ℓ <sub>p</sub> | მმ/მ              | 0     | 17    | 26    | 32    | 37    | 40    | 43    | 45    | 47    |
| კუმულატურის კოეფიციენტი        | α              | მკა <sup>-1</sup> |       | 0,065 | 0,034 | 0,023 | 0,019 | 0,011 | 0,011 | 0,008 | 0,008 |
| დეფორმაციის მოდული<br>(საერთო) | E              | მკა               |       | 1,2   | 2,2   | 3,3   | 4,0   | 6,7   | 6,7   | 10,0  | 10,0  |
|                                | E              | მკა               |       | 6,4   | 12,2  | 18,3  | 22,4  | 37,3  | 37,3  | 57,0  | 57,0  |

# გრუნტის კომპარაციული გამოცდის

## შედებები

ობიექტის  
დასახელება

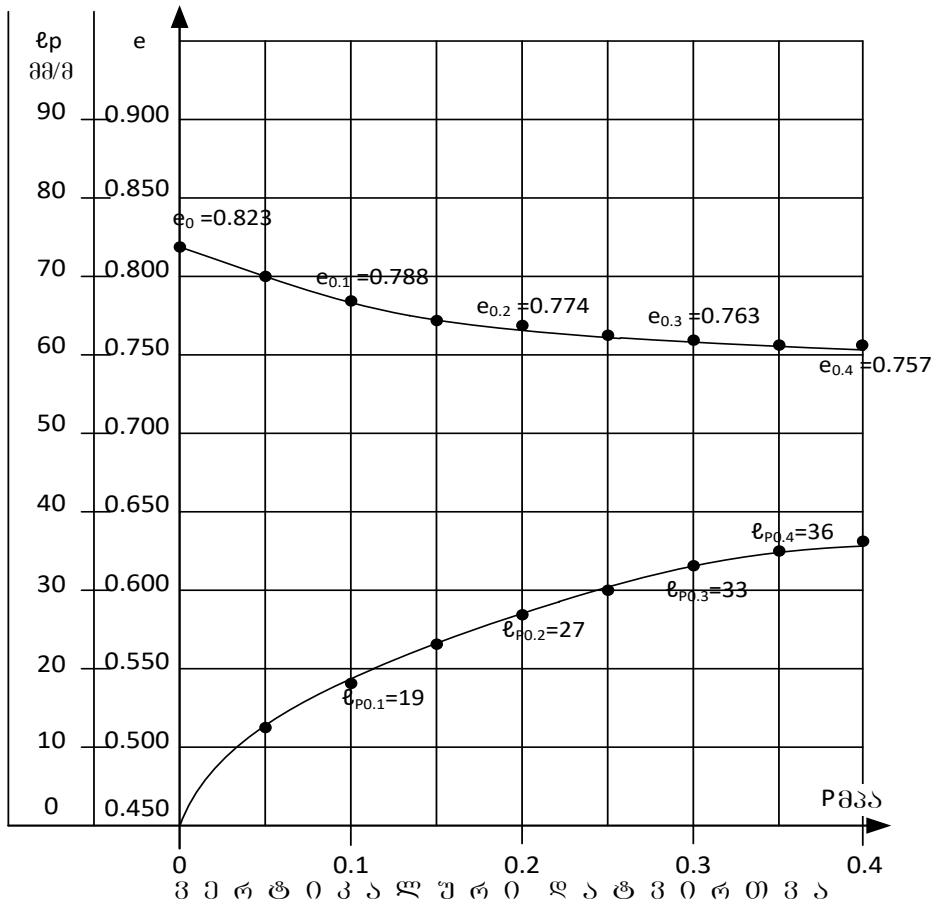
დაბა ლენტების წყალმომარაბების  
სისტემის რეაბილიტაცია

ჰაბურლილი № 8 | აღების სიღრმე  $h = 2,0$  მ | ნიმუშის სახე: მონოლითი | ლაბორ № 352

ცდა ჩატარდა გუნებრივი სიმკრიბის ცდა

გრაფიკი № 7

ტენიანობის ნიმუში



| გრუნტის ვიზუალური<br>მახასიათებლები |                     |          | სავ.           | საბ.  |
|-------------------------------------|---------------------|----------|----------------|-------|
| ბუნებრივი<br>ტენიანობა              | W                   | %        | 30,2           | 27,8  |
| სიგანგი                             | გრუნტის             | $\rho$   | $\text{g/m}^3$ | 1,95  |
|                                     | გმრალი<br>გრუნტის   | $\rho_d$ |                | 1,50  |
|                                     | გრუნტის<br>ნაყოლაპ. | $\rho_s$ |                | 2,73  |
| ვორიანობა                           | n                   | %        | 45,1           | 43,2  |
| ვორიანობის<br>კოეფიციენტი           | e                   | -        | 0,823          | 0,761 |
| ტენიანობის<br>ხარისხი               | Sr                  | -        | 1,00           | 1,00  |
| კლასი-<br>ტენიობა                   | ზედა<br>ზღვარი      | $W_L$    | -              | 0,57  |
|                                     | ქვედა<br>ზღვარი     | $W_P$    | -              | 0,24  |
|                                     | რიცხვი              | $I_p$    | -              | 0,33  |
| კონსისტენციის<br>მაჩვენებელი        | $I_L$               | -        | 0,19           | 0,12  |

გრუნტის დასახელება კლასტი-  
კურობის რიცხვის მიხედვით

$I_p | 0,33 | \text{თიხა}$

|                                   |          |                   |       |       |       |       |       |       |       |       |       |
|-----------------------------------|----------|-------------------|-------|-------|-------|-------|-------|-------|-------|-------|-------|
| ვერტიკალური<br>დატვირთვა          | P        | მკა               | 0     | 0,05  | 0,1   | 0,15  | 0,2   | 0,25  | 0,3   | 0,35  | 0,4   |
| ვორიანობის<br>კოეფიციენტი         | e        | -                 | 0,823 | 0,801 | 0,788 | 0,779 | 0,774 | 0,768 | 0,763 | 0,759 | 0,757 |
| ჯდენის<br>მოდული                  | $\ell_p$ | მმ/გ              | 0     | 12    | 19    | 24    | 27    | 30    | 33    | 35    | 36    |
| კუმულატიურის<br>კოეფიციენტი       | a        | მკა <sup>-1</sup> |       | 0,044 | 0,026 | 0,018 | 0,011 | 0,011 | 0,011 | 0,007 | 0,004 |
| დეფორმაციის<br>მოდული<br>(სამრთო) | კომპ.    | E                 | მკა   |       | 1,7   | 2,9   | 4,0   | 6,7   | 6,7   | 10,0  | 20,0  |
|                                   | სამრთო   | E                 | მკა   |       | 9,5   | 16,6  | 23,2  | 39,3  | 39,3  | 59,0  | 118,0 |

# გრუნტის კომპარაციული გამოცდის

## შედებები

ობიექტის  
დასახელება

დაბა ლენტების ზეალმორარაბეგის  
სისტემის რეაბილიტაცია

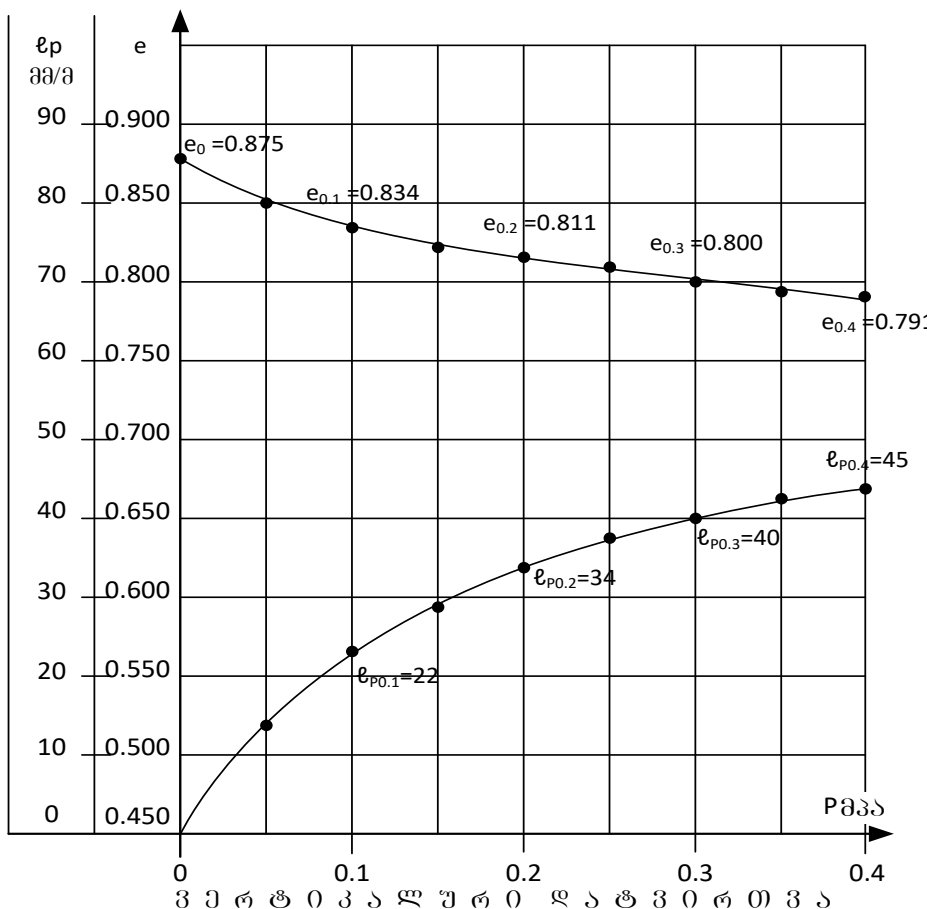
ჰაბურღილი № 2

აღების სიღრმე  $h = 2,0$  მ ნიმუშის სახე: მონოლითი ლაბორ № 347

ცდა ჩატარდა გუნებრივი სიმკვრივის ცდა

გრაფიკი № 2

ტენიანობის ნიმუშები



| გრუნტის ვიზიკური მახასიათებლები |                           |          | საჭ. | საბ.        |
|---------------------------------|---------------------------|----------|------|-------------|
| სიმკვრივე                       | გუნებრივი ტენიანობა       | W        | %    | 31,2 28,2   |
|                                 | გრუნტის მაყილაპ           | $\rho$   |      | 1,91 1,95   |
|                                 | მშრალი გრუნტის მაყილაპ    | $\rho_d$ |      | 1,46 1,52   |
|                                 | გრუნტის ნაყილაპ.          | $\rho_s$ |      | 2,73        |
|                                 | ვორიანობა                 | n        | %    | 46,7 44,3   |
|                                 | ვორიანობის კოეფიციენტი    | e        | -    | 0,875 0,791 |
|                                 | ტენიანობის ხარისხი        | Sr       | -    | 0,77 0,97   |
| კლასურული კუნძულები             | ზედა ზღვარი               | $W_L$    | -    | 0,54        |
|                                 | ქვედა ზღვარი              | $W_p$    | -    | 0,24        |
|                                 | რიცხვი                    | $I_p$    | -    | 0,30        |
|                                 | კონსისტენციის მაჩვენებელი | $I_L$    | -    | 0,24 0,14   |

| გრუნტის დასახელება კლასტიკური ტენიანობის რიცხვის მიხედვით |      |
|---|------|
| $I_p$   | 0,30 |

|                         |          |                   |       |       |       |       |       |       |       |       |       |
|-------------------------|----------|-------------------|-------|-------|-------|-------|-------|-------|-------|-------|-------|
| ვერტიკალური დატვირთვა   | P        | გვა               | 0     | 0,05  | 0,1   | 0,15  | 0,2   | 0,25  | 0,3   | 0,35  | 0,4   |
| ვორიანობის კოეფიციენტი  | e        | -                 | 0,875 | 0,849 | 0,834 | 0,821 | 0,811 | 0,806 | 0,800 | 0,794 | 0,791 |
| კლასურული კუნძულის მასა | $\ell_p$ | გვ/გ              | 0     | 14    | 22    | 29    | 34    | 37    | 40    | 43    | 45    |
| კუნძულის მასა           | $\alpha$ | გვა <sup>-1</sup> |       | 0,053 | 0,030 | 0,026 | 0,019 | 0,011 | 0,011 | 0,011 | 0,008 |
| დეფორმაციის მოდული      | E        | გვა               |       | 1,4   | 2,5   | 2,9   | 4,0   | 6,7   | 6,7   | 6,7   | 10,0  |
| (საერთო)                | E        | გვა               |       | 7,9   | 14,0  | 16,0  | 22,8  | 38,0  | 38,0  | 38,0  | 58,0  |

# გრუნტის კომპაქციის ული გამოცდის

## შედებები

ობიექტის  
დასახელება

დაბა ლენტეის უწყლომარაგების  
სისტემის რეაბილიტაცია

ჰაბურღილი № 3

აღების სიღრმე  $h = 1,0$  მ

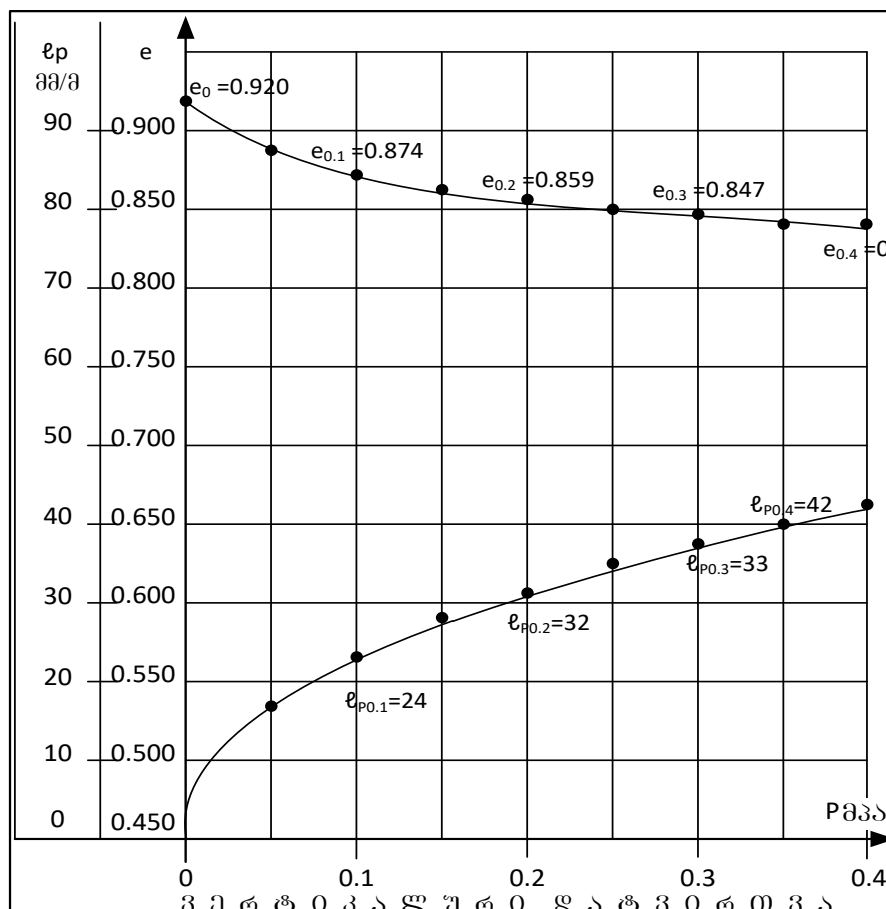
ნიმუშის სახე: მონოლითი

ლაბორ № 348

ცდა ჩატარდა გუნებრივი სიმკვრივის ცდა

გრაფიკი № 3

ტენიანობის ნიმუშზე



| გრუნტის ვიზიკური მახასიათებლები     |          | საჭ. | საბ.        |
|-------------------------------------|----------|------|-------------|
| ბუნებრივი ტენიანობა                 | W        | %    | 33,6 30,9   |
| ტენიანობის განვითარების მაჩვენებელი | $\rho$   |      | 1,90 1,94   |
|                                     | $\rho_d$ |      | 1,42 1,48   |
|                                     | $\rho_s$ |      | 2,73        |
| ვორიანობა                           | n        | %    | 47,9 45,8   |
| ვორიანობის კოეფიციენტი              | e        | -    | 0,920 0,845 |
| ტენიანობის ხარისხი                  | Sr       | -    | 0,80 1,00   |
| ტენიანობის განვითარების მაჩვენებელი | $W_L$    | -    | 0,61        |
|                                     | $W_p$    | -    | 0,26        |
|                                     | $I_p$    | -    | 0,35        |
| კონსისტენციის მაჩვენებელი           | $I_L$    | -    | 0,22 0,14   |

გრუნტის დასახელება კლასტი-კურობის რიცხვის მიხედვით

$I_p = 0,35$  მიხა

|                                |          |                   |       |       |       |       |       |       |       |       |       |
|--------------------------------|----------|-------------------|-------|-------|-------|-------|-------|-------|-------|-------|-------|
| ვერტიკალური დატვირთვა          | P        | მკა               | 0     | 0,05  | 0,1   | 0,15  | 0,2   | 0,25  | 0,3   | 0,35  | 0,4   |
| ვორიანობის კოეფიციენტი         | e        | -                 | 0,920 | 0,885 | 0,874 | 0,864 | 0,859 | 0,853 | 0,847 | 0,843 | 0,839 |
| კლეინის მოდული                 | $\ell_p$ | მმ/გ              | 0     | 18    | 24    | 29    | 32    | 35    | 38    | 40    | 42    |
| კუმულატურის კოეფიციენტი        | $\alpha$ | მკა <sup>-1</sup> |       | 0,069 | 0,023 | 0,019 | 0,012 | 0,012 | 0,012 | 0,008 | 0,008 |
| დეფორმაციის მოდული<br>(საერთო) | E        | მკა               |       | 1,1   | 3,3   | 4,0   | 6,7   | 6,7   | 6,7   | 10,0  | 10,0  |
|                                | E        | მკა               |       | 5,9   | 18,0  | 21,6  | 36,0  | 36,7  | 36,7  | 55,0  | 55,0  |

# გრუნტის კომპაქციული გამოცდის

## შედებები

ობიექტის  
დასახელება

დაბა ლენტეის ზეპალომარაბეგის  
სისტემის რეაბილიტაცია

ჰაბურღილი № 4

აღების სიღრმე

$h = 2,5$

მ

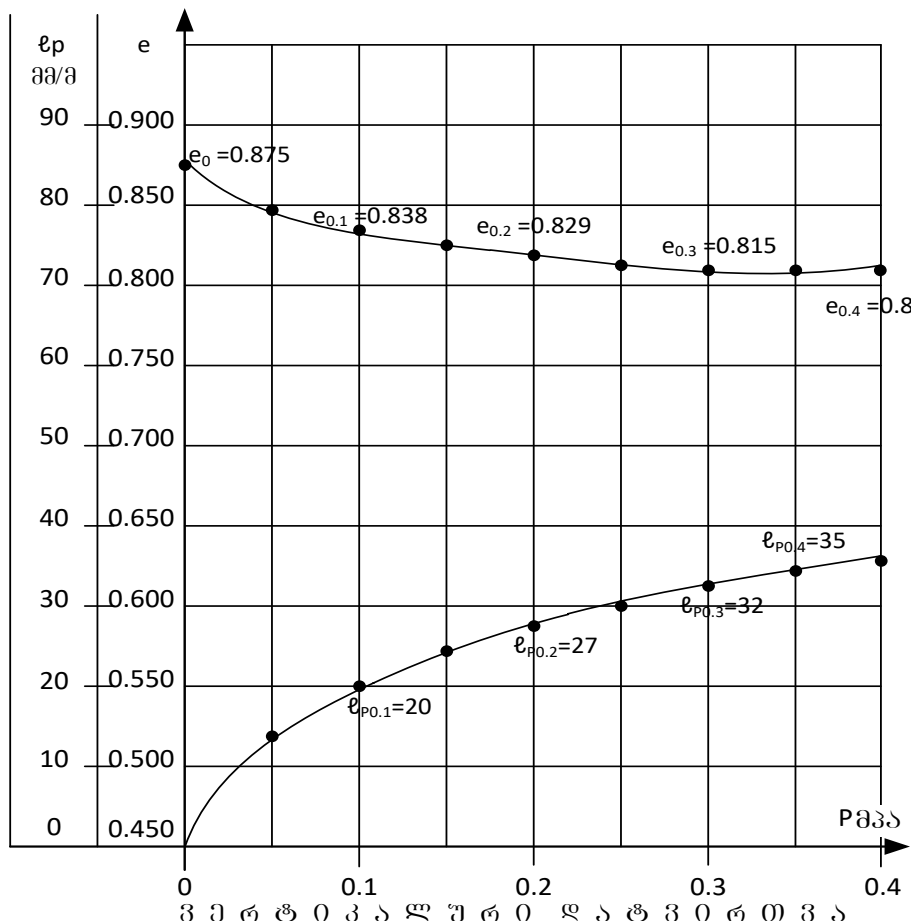
ნიმუშის სახე: მონოლითი

ლაბორ № 349

ცდა ჩატარდა გუნებრივი სიმკვრივის და

გრავიკი № 4

ტენიანობის ნიმუშზე



| გრუნტის ვიზიკური მახსიათებლები |                               | საჭ.           | საბ.        |
|--------------------------------|-------------------------------|----------------|-------------|
| ბუნებრივი ტენიანობა            | W                             | %              | 28,4 26,8   |
| სიმკვრივი                      | გრუნტის ρ                     | ρ              | 1,87 1,90   |
|                                | მდრალი გრუნტის ρ <sub>d</sub> | ρ <sub>d</sub> | 1,46 1,60   |
|                                | გრუნტის ნაყოლაპ.              | ρ <sub>s</sub> | 2,73        |
| ვორიანობა                      | n                             | %              | 46,7 41,0   |
| ვორიანობის კოეფიციენტი         | e                             | -              | 0,875 0,652 |
| ტენიანობის ხარისხი             | S <sub>r</sub>                | -              | 0,79 0,77   |
| კულტურული კუსონება             | ზედა ზღვარი W <sub>L</sub>    | -              | 0,50        |
|                                | ქვედა ზღვარი W <sub>p</sub>   | -              | 0,23        |
|                                | რიცხვი I <sub>p</sub>         | -              | 0,27        |
| კონსისტენციის მაჩვენებელი      | I <sub>L</sub>                | -              | 0,20 0,14   |

გრუნტის დასახელება კლასტი-კურობის რიცხვის მიხედვით

I<sub>p</sub> 0,27 მიხა

|                             |                |                   |       |       |       |       |       |       |       |       |       |
|-----------------------------|----------------|-------------------|-------|-------|-------|-------|-------|-------|-------|-------|-------|
| ვერტიკალური დატვირთვა       | P              | მკა               | 0     | 0,05  | 0,1   | 0,15  | 0,2   | 0,25  | 0,3   | 0,35  | 0,4   |
| ვორიანობის კოეფიციენტი      | e              | -                 | 0,875 | 0,849 | 0,838 | 0,830 | 0,824 | 0,819 | 0,815 | 0,811 | 0,809 |
| კლეინის მოდული              | ℓ <sub>p</sub> | მმ/მ              | 0     | 14    | 20    | 24    | 27    | 30    | 32    | 34    | 35    |
| კუმულატურის კოეფიციენტი     | α              | მკა <sup>-1</sup> |       | 0,053 | 0,023 | 0,015 | 0,011 | 0,011 | 0,008 | 0,007 | 0,004 |
| დეფორმაციის მოდული (საერთო) | E              | მკა               |       | 1,4   | 3,3   | 5,0   | 6,7   | 6,7   | 10,0  | 10,0  | 20,0  |
|                             | E              | მკა               |       | 7,9   | 18,3  | 28,0  | 37,3  | 37,3  | 57,0  | 57,0  | 114,0 |

# გრუნტის კომპაქციული გამოცდის

## შედებები

ობიექტის  
დასახელება

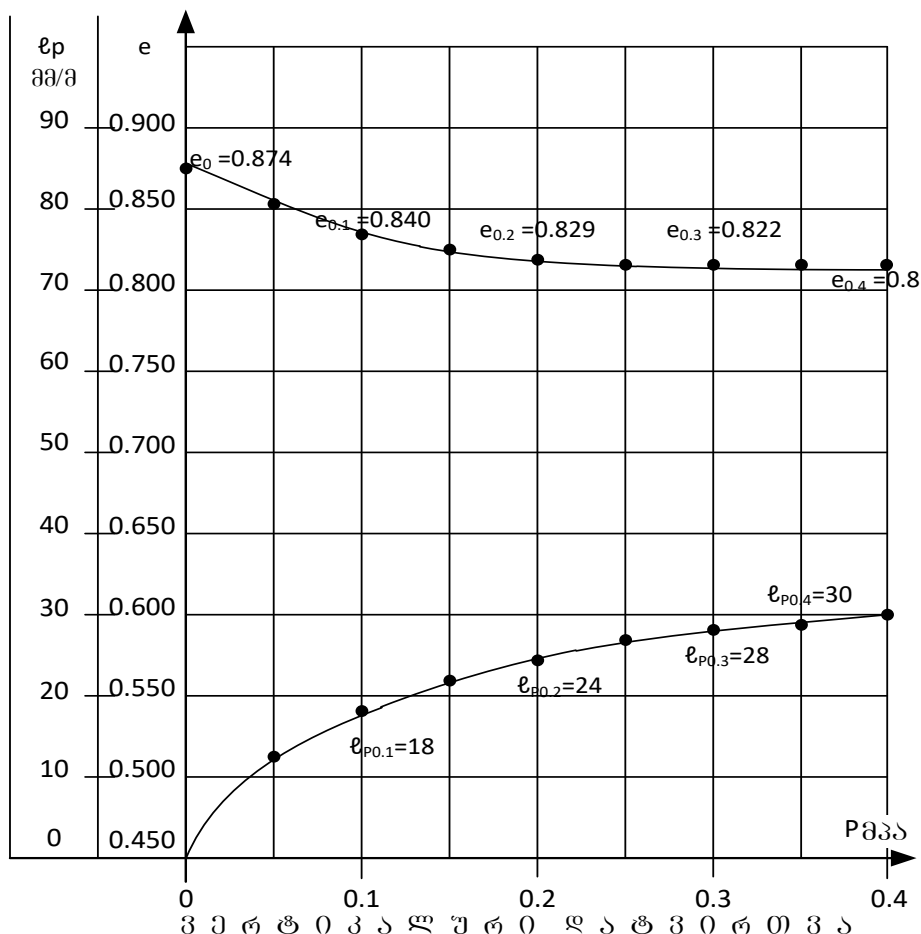
დაბა ლენტეის ზეპალმობარაბეგის  
სისტემის რეაბილიტაცია

ჰაბურღილი № 5 აღნების სიღრმე  $h = 1,50$  მ ნიმუშის სახე: მონოლითი ლაბორ № 350

ცდა ჩატარდა გუნებრივი სიმკვრივის ცდა

გრაფიკი № 5

ტენიანობის ნიმუშები



| გრუნტის ვიზიკური მახსიათებლები |          | საჭ. | საბ.        |
|--------------------------------|----------|------|-------------|
| გუნებრივი ტენიანობა            | W        | %    | 27,0 25,5   |
| სიმკვრივი                      | $\rho$   |      | 1,85 1,88   |
|                                | $\rho_d$ |      | 1,46 1,50   |
|                                | $\rho_s$ |      | 2,73        |
| ვორიანობა                      | n        | %    | 46,6 45,1   |
| ვორიანობის კოეფიციენტი         | e        | -    | 0,874 0,820 |
| ტენიანობის ხარისხი             | Sr       | -    | 0,74 0,85   |
| კუთხის კუთხი                   | $W_L$    | -    | 0,53        |
|                                | $W_p$    | -    | 0,22        |
|                                | $I_p$    | -    | 0,31        |
| კონსისტენციის მაჩვენებელი      | $I_L$    | -    | 0,36 0,31   |

გრუნტის დასახელება კლასტი-კურობის რიცხვის მიხედვით

$I_p = 0,31$  თიხნარი

|                             |          |                   |       |       |       |       |       |       |       |       |       |
|-----------------------------|----------|-------------------|-------|-------|-------|-------|-------|-------|-------|-------|-------|
| ვერტიკალური დატვირთვა       | P        | მკა               | 0     | 0,05  | 0,1   | 0,15  | 0,2   | 0,25  | 0,3   | 0,35  | 0,4   |
| ვორიანობის კოეფიციენტი      | e        | -                 | 0,874 | 0,852 | 0,840 | 0,835 | 0,829 | 0,825 | 0,822 | 0,820 | 0,818 |
| კლეინის მოდული              | $\ell_p$ | მმ/მ              | 0     | 12    | 18    | 21    | 24    | 26    | 28    | 29    | 30    |
| კუმულატურის კოეფიციენტი     | $\alpha$ | მკა <sup>-1</sup> |       | 0,045 | 0,022 | 0,011 | 0,011 | 0,007 | 0,007 | 0,004 | 0,004 |
| დეფორმაციის მოდული (საერთო) | E        | მკა               |       | 1,7   | 3,3   | 6,7   | 6,7   | 10,0  | 10,0  | 20,0  | 20,0  |
|                             | E        | მკა               |       | 9,2   | 18,3  | 37,3  | 38,0  | 57,0  | 57,0  | 114,0 | 114,0 |



# გრუნტის კომპაქციული გამოცდის

## შედებები

ობიექტის  
დასახელება

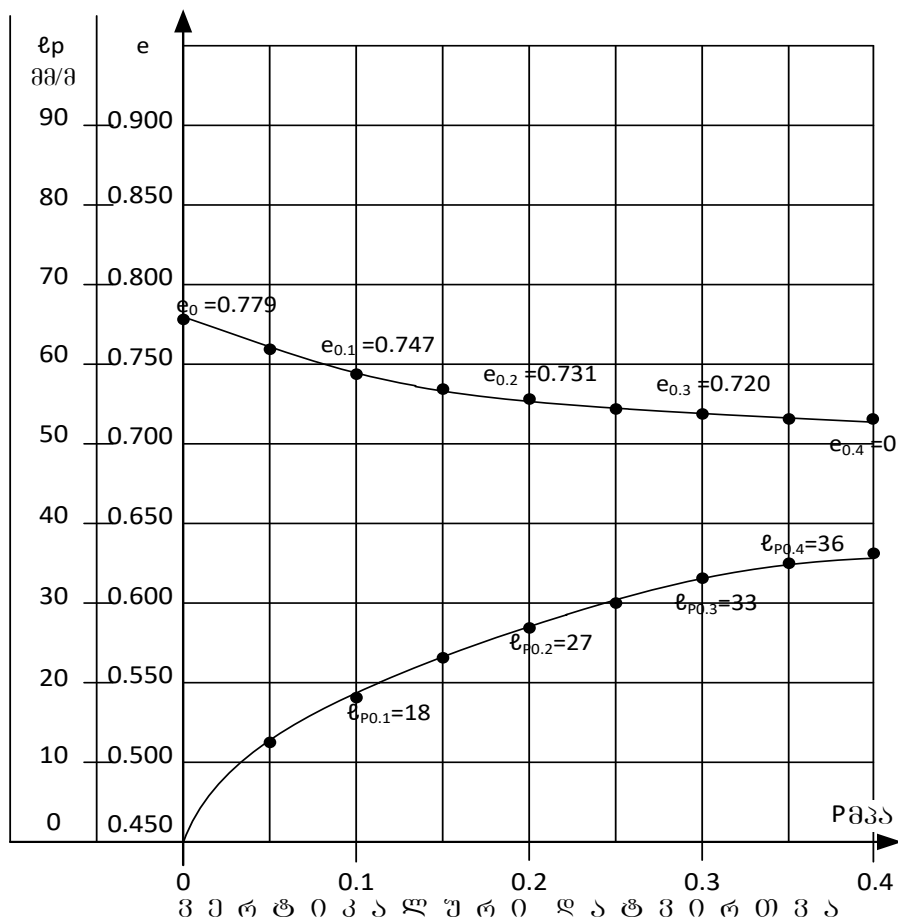
დაბა ლენტეის ზეპალმობარაბეგის  
სისტემის რეაბილიტაცია

ჟაბურდილი № 6 აღნების სიღრმე  $h = 1,80$  მ ნიმუშის სახე: მონოლითი ლაბორ № 351

ცდა ჩატარდა გუნებრივი სიმკვრივის ცდა

გრაფიკი № 6

ტენიანობის ნიმუშები



| გრუნტის ვიზიკური მახსიათებლები |                | საჭ.                  | საბ.        |
|--------------------------------|----------------|-----------------------|-------------|
| გუნებრივი ტენიანობა            | W              | %                     | 26,4 24,8   |
| სიგვერვე                       | $\rho$         | $\text{g}/\text{m}^3$ | 1,94 1,98   |
| მდრალი გრუნტის                 | $\rho_d$       |                       | 1,53 1,59   |
| გრუნტის ნაყოლაპ.               | $\rho_s$       |                       | 2,73        |
| ვორიანობა                      | n              | %                     | 43,8 41,8   |
| ვორიანობის კოეფიციენტი         | e              | -                     | 0,779 0,717 |
| ტენიანობის ხარისხი             | S <sub>r</sub> | -                     | 0,73 0,94   |
| კუთხის კუთხები                 | ზედა ზღვარი    | $W_L$                 | - 0,47      |
| ქვედა ზღვარი                   | $W_p$          | -                     | 0,21        |
| რიცხვი                         | I <sub>p</sub> | -                     | 0,26        |
| კონსისტენციის მაჩვენებელი      | I <sub>L</sub> | -                     | 0,31 0,35   |

გრუნტის დასახელება კლასტი-კურობის რიცხვის მიხედვით

I<sub>p</sub> 0,24 მიხა

|                             |          |                           |       |       |       |       |       |       |       |       |       |
|-----------------------------|----------|---------------------------|-------|-------|-------|-------|-------|-------|-------|-------|-------|
| ვერტიკალური დატვირთვა       | P        | მკა                       | 0     | 0,05  | 0,1   | 0,15  | 0,2   | 0,25  | 0,3   | 0,35  | 0,4   |
| ვორიანობის კოეფიციენტი      | e        | -                         | 0,723 | 0,711 | 0,701 | 0,690 | 0,681 | 0,669 | 0,658 | 0,652 | 0,648 |
| კლეინის მოდული              | $\ell_p$ | მმ/კ                      | 0     | 11    | 19    | 26    | 31    | 35    | 39    | 42    | 44    |
| კუმულატურის კოეფიციენტი     | $\alpha$ | $10^{-5}$ $\text{კ}^{-1}$ |       | 0,040 | 0,030 | 0,026 | 0,018 | 0,016 | 0,014 | 0,010 | 0,008 |
| დეფორმაციის მოდული (საერთო) | E        | მკა                       |       | 1,8   | 2,5   | 2,9   | 4,0   | 5,0   | 5,0   | 6,7   | 10,0  |
|                             | E        | მკა                       |       | 10,1  | 14,2  | 16,8  | 23,2  | 29,5  | 29,5  | 39,5  | 60,0  |

გრუნტების ლაბორატორიული კვლევის შედეგების კრებსითი ცხრილი



გრუნტების ლაბორატორიული კვლევის შედეგების კრებსითი ცხრილი



# გრუნტის ძვრაზე გამოცდის

## შედეგები

ობიექტის  
დასახლება

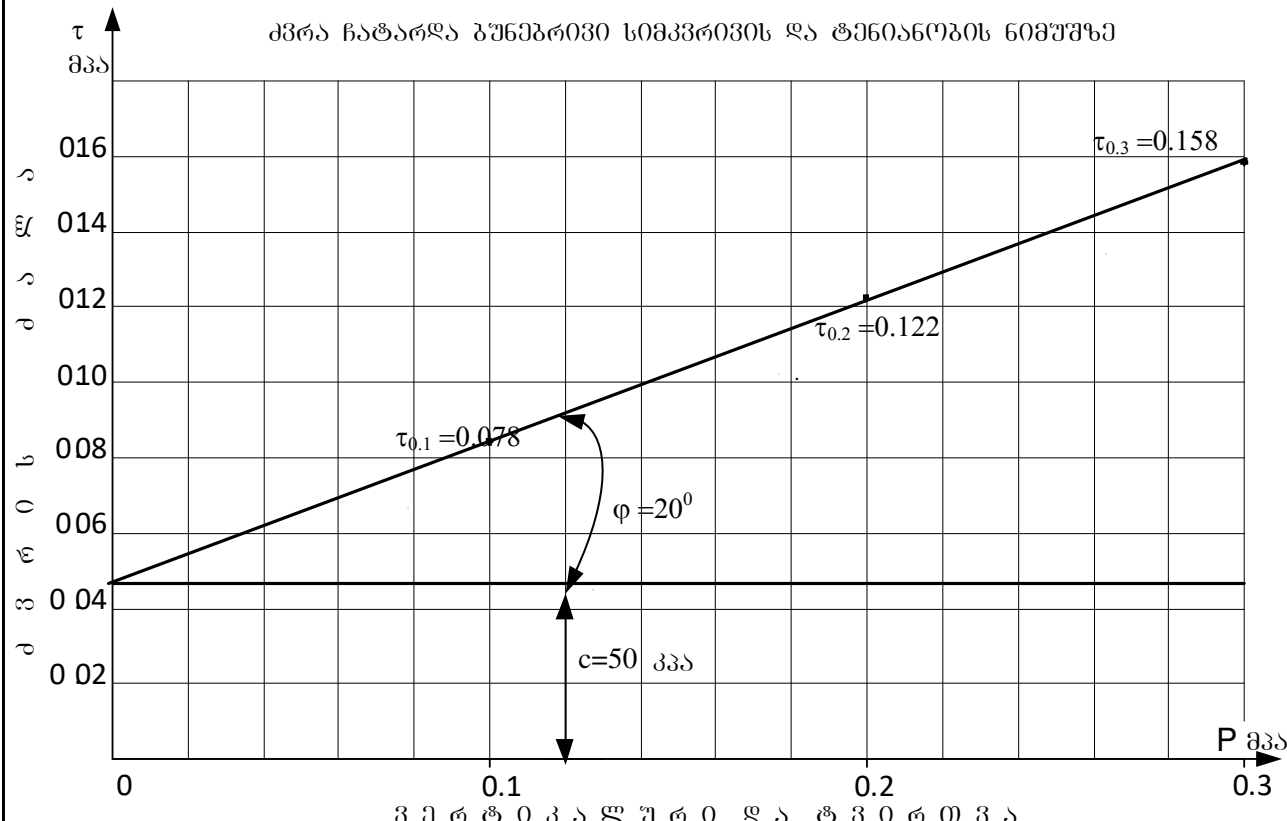
დაბა ლენტეს ჭყალმარაგების სისტემის რეაგილიტაცია

ჰაბურდი № 1

აღების სიღრმე  $h = 1,50$  მ 60მუშის სახე: მონოლითი

ლაბორ. № 346

გრაფიკ № 8



|   |  |  |
|---|--|--|
| გრუნტის დასახლება ალასტიკურობის<br>რიცხვის მიხედვით |  |  |
|---|--|--|

|       |      |       |
|-------|------|-------|
| $I_p$ | 0,31 | 010ხა |
|-------|------|-------|

| გუნებრივი<br>ტენიანობა | სიმკვრივე |          |          | ფრინველი | ფრინველის<br>კონფიგურაცია | ფრინველის<br>ხარისხი | პლასტიკუ-<br>რობა |          |          | კონსისტენციის<br>განვითარება |
|------------------------|-----------|----------|----------|----------|---------------------------|----------------------|-------------------|----------|----------|------------------------------|
|                        | ბრუნვის   | გრძნალი  | ბრუნვის  |          |                           |                      | ზოგადი            | ელემენტი | ელემენტი |                              |
| W                      | $\rho$    | $\rho_d$ | $\rho_s$ | n        | e                         | Sr                   | $W_L$             | $W_p$    | $I_p$    | $I_L$                        |
| %                      | გ/სგ³     | %        | %        | -        | -                         | -                    | -                 | -        | -        | -                            |
| 31,5                   | 1,89      | 1,44     | 2,73     | 47,4     | 0,899                     | 0,76                 | 0,55              | 0,24     | 0,31     | 0,24                         |

| გრუნტის დასახლება | მახსოვრობა | მიმღებელი |        |                             |                 |                    |
|-------------------|------------|-----------|--------|-----------------------------|-----------------|--------------------|
|                   |            | ძვრის     | ძვრის  | შენაბაზის<br>ხაზის          | კოეფი-<br>ციები | შენაბაზის<br>ხაზის |
| $P$               | $\tau$     | $\tau$    | $\tau$ | $\operatorname{tg} \varphi$ | $\varphi$       | $c$                |
| გვა               | გვა        | გვა       | —      | —                           | გრდ.            |                    |
| 0.1               | 0,086      | 0,086     |        |                             |                 |                    |
| 0.2               | 0,122      | 0,122     | 0,36   | 20                          | 50              | 50                 |
| 0.3               | 0,158      | 0,158     |        |                             |                 |                    |
| 0, 50             | 38/18²     |           |        |                             |                 |                    |

# გრუნტის ძვრაზე გამოცდის

## შედეგები

ობიექტის  
დასახელება

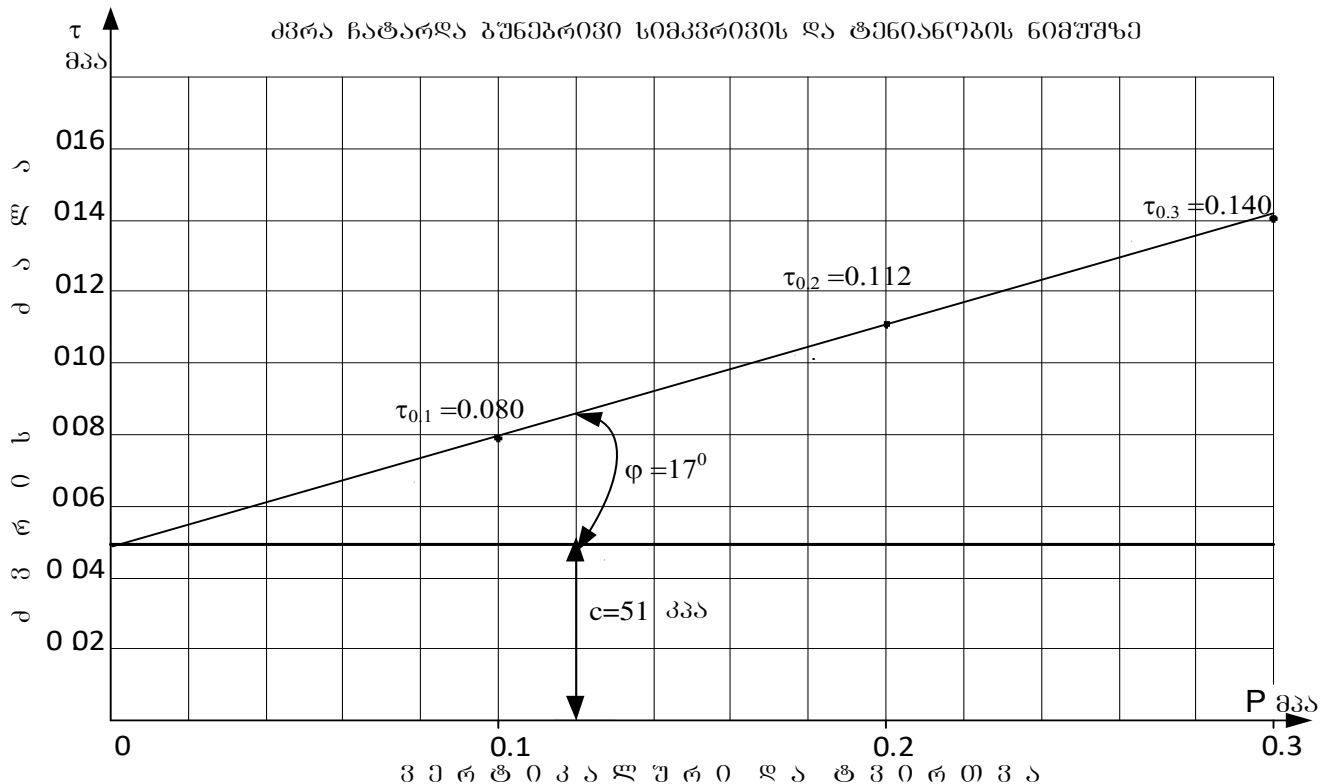
დაბა ლენტეს ჭყალმარაგების სისტემის რეაგილიტაცია

ჰაბურდი № 8

აღების სიღრმე  $h = 2,0$  მ 60მუშის სახე: მონოლითი

ლაბორ. № 352

გრაფიკ № 14



გრუნტის დასახელება ალასტიკურის  
რიცხვის მიხედვით

|       |      |       |
|-------|------|-------|
| $I_p$ | 0,33 | 010ხა |
|-------|------|-------|

| გუნებრივი<br>ტენსომეტრის | სიმკვრივე         |          |          | ფრინიანოგის | ფრინიანოგის<br>კონფიგურაციის | ფრინიანოგის<br>ხარისხი | პლასტიკუ-<br>რობა |       |       | ვინისტენციის<br>განვითარების |  |
|--------------------------|-------------------|----------|----------|-------------|------------------------------|------------------------|-------------------|-------|-------|------------------------------|--|
|                          | ბრუნტის           | გრძნალი  | ბრუნტის  |             |                              |                        | ზედა              | ქვედა | ქვედა | რიცხვის                      |  |
| W                        | $\rho$            | $\rho_d$ | $\rho_s$ | n           | e                            | Sr                     | $W_L$             | $W_p$ | $I_p$ | $I_L$                        |  |
| %                        | გ/სგ <sup>3</sup> |          | %        | -           | -                            | -                      | -                 | -     | -     | -                            |  |
| 30,2                     | 1,95              | 1,50     | 2,73     | 45,1        | 0,823                        | 0,80                   | 0,57              | 0,24  | 0,33  | 0,39                         |  |

| გრუნტის დასახელება<br>დატვირთვა | ექსპერ. | მიმღებელი |                             |           |         |                      |
|---------------------------------|---------|-----------|-----------------------------|-----------|---------|----------------------|
|                                 |         | ძვრის     | ძვრის                       | შონაბანი  | ხახულის | კოეფი-               |
| P                               | $\tau$  | $\tau$    | $\operatorname{tg} \varphi$ | $\varphi$ | c       |                      |
| გვა                             | გვა     | გვა       | -                           | გრდ.      | გრდ.    |                      |
| 0.1                             | 0,080   | 0,081     |                             |           |         |                      |
| 0.2                             | 0,112   | 0,111     | 0,30                        | 17        | 51      | $3\delta^2/\delta^2$ |
| 0.3                             | 0,140   | 0,141     |                             |           |         |                      |

# გრუნტის ძვრაზე გამოცდის

## შედეგები

ობიექტის  
დასახლება

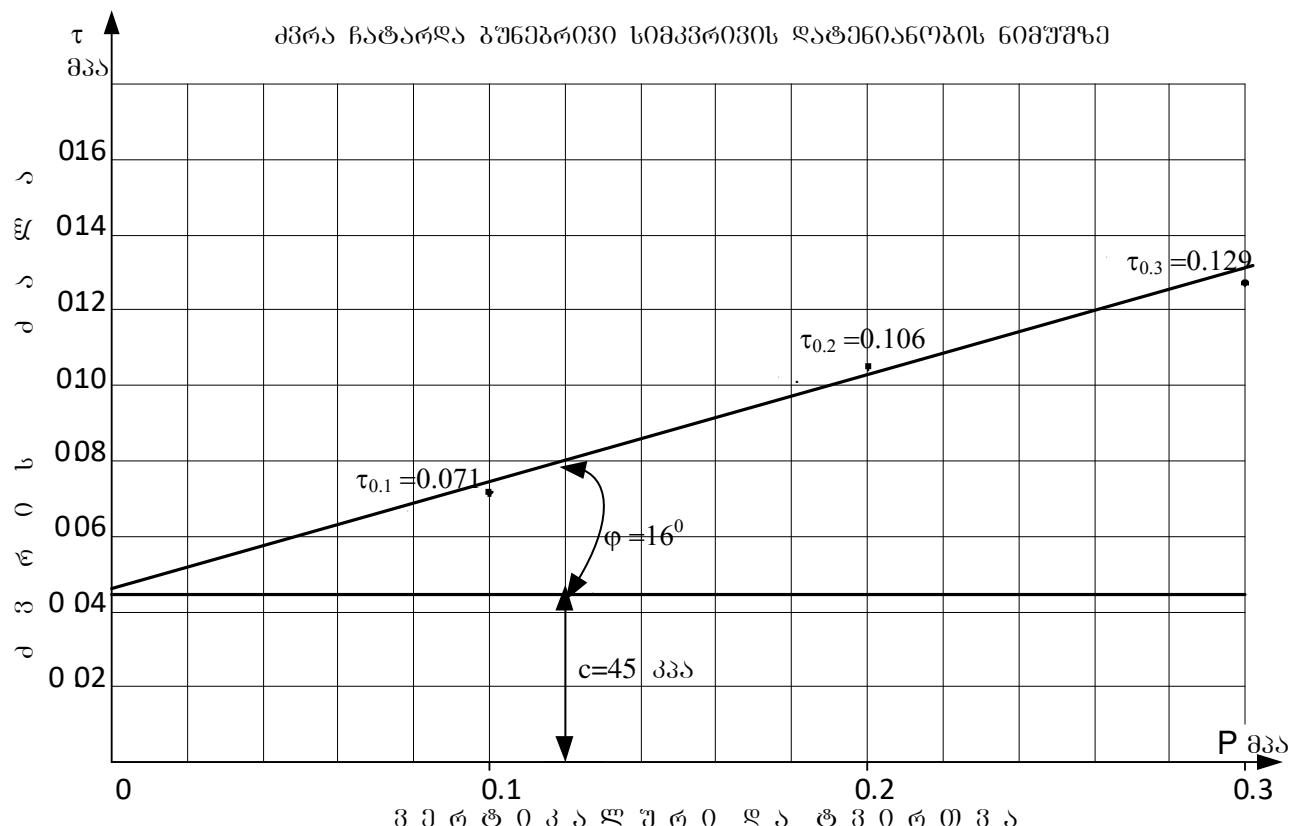
დაბა ლენტეს ჭყალმარაგების სისტემის რეაგილიტაცია

ჰაბურდი № 2

აღების სიღრმე  $h = 2,0$  მ 60მუშის სახე: მონოლითი

ლაპორ. № 347

გრაფიკ № 9



გრუნტის დასახლება ალაზანიკურის  
რიცხვის მიხედვით

|       |      |          |
|-------|------|----------|
| $I_p$ | 0,30 | 0106ნარი |
|-------|------|----------|

| გუნდის ტენიანობა | სიმკვრივე         |         |                   | ფრინველის | ფრინველის კონფიგურაცია | ფრინველის ხარისხი | კლასტიკური გრადაცია |      |      | კონსისტენციის განვითარება |   |
|------------------|-------------------|---------|-------------------|-----------|------------------------|-------------------|---------------------|------|------|---------------------------|---|
|                  | ბრუნვის           | გრძნალი | ბრუნვის ნაშენება. |           |                        |                   | $n$                 | $e$  | $Sr$ | $W_L$                     |   |
| %                | $\delta/\delta^3$ | %       | -                 | -         | -                      | -                 | -                   | -    | -    | -                         | - |
| 31,2             | 1,91              | 1,46    | 2,73              | 46,7      | 0,875                  | 0,77              | 0,54                | 0,24 | 0,30 | 0,24                      |   |

| გრუნტის მახასიათებლები | გრუნტის ძვრის მახასიათებლები |                     |         |                             |           |
|------------------------|------------------------------|---------------------|---------|-----------------------------|-----------|
|                        | მარტივი და დამატებითი        | მარტივი             | მარტივი | მარტივი                     | მარტივი   |
| $P$                    | $\tau$                       | $\tau$              | $\tau$  | $\operatorname{tg} \varphi$ | $\varphi$ |
| გვა                    | გვა                          | გვა                 | —       | გრდ.                        |           |
| 0.1                    | 0,071                        | 0,074               |         |                             |           |
| 0.2                    | 0,106                        | 0,103               | 0,29    | 16                          |           |
| 0.3                    | 0,129                        | 0,132               |         |                             |           |
|                        | 45                           | 38δ/1δ <sup>2</sup> |         |                             |           |
| 0, 45                  |                              |                     |         |                             |           |

# გრუნტის ძვრაზე გამოცდის

## შედეგები

ობიექტის  
დასახელება

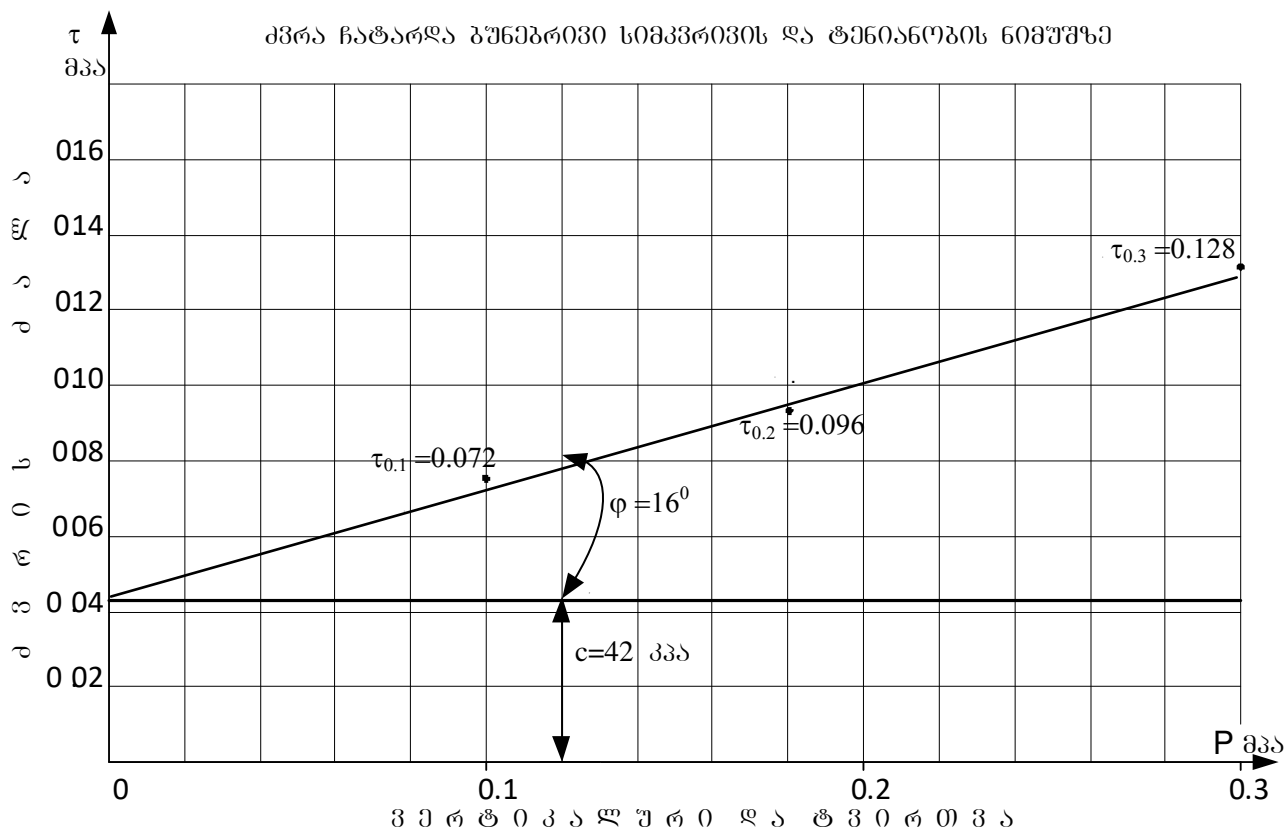
დაბა ლენტეს ჭყალმარაგების სისტემის რეაგილიტაცია

ჰაბურდი № 3

აღების სიღრმე  $h = 1,0$  მ 60მუშის სახე: მონოლითი

ლაპორ. № 348

გრაფიკ № 10



|  |  |  |
|--|--|--|
| გრუნტის დასახელება ალასტიკურის<br>რიცხვის მიხედვით |  |  |
|--|--|--|

|       |      |       |
|-------|------|-------|
| $I_p$ | 0,35 | 010ხა |
|-------|------|-------|

| გუნდის ტენიანობა | სიმაგრის          |                   |                   | გრუნტის გვა | კლასების რობა |          |       |        |        |        |        |
|------------------|-------------------|-------------------|-------------------|-------------|---------------|----------|-------|--------|--------|--------|--------|
|                  | გრუნტის           | გრუნტის           | გრუნტის           |             | კონიანობის    | ხარისხის | ხელა  | ყლვარი | ძლიერი | ყლვარი | რობები |
| W                | $\rho$            | $\rho_d$          | $\rho_s$          | n           | e             | Sr       | $W_L$ | $W_p$  | $I_p$  | $I_L$  |        |
| %                | გ/სგ <sup>3</sup> | გ/სგ <sup>3</sup> | გ/სგ <sup>3</sup> | %           | -             | -        | -     | -      | -      | -      |        |
| 33,6             | 1,90              | 1,42              | 2,73              | 47,9        | 0,820         | 0,80     | 0,61  | 0,26   | 0,35   | 0,22   |        |

| გრუნტის მახვილებელი<br>და მიმღებელი | მძღვრები | მიღებელი            |        |                             |                 |
|-------------------------------------|----------|---------------------|--------|-----------------------------|-----------------|
|                                     |          | ძვრის               | ძვრის  | შენაბანის<br>ხაზის          | გრდა-<br>ცივები |
| P                                   | $\tau$   | $\tau$              | $\tau$ | $\operatorname{tg} \varphi$ | $\varphi$       |
| გვა                                 | გვა      | გვა                 | —      | გრდ.                        |                 |
| 0.1                                 | 0,072    | 0,070               |        |                             |                 |
| 0.2                                 | 0,096    | 0,098               | 0,28   | 16                          |                 |
| 0.3                                 | 0,128    | 0,126               |        |                             |                 |
| 0, 42                               | კვა      | კბელებ <sup>2</sup> |        |                             |                 |

# გრუნტის ძვრაზე გამოცდის

## შედეგები

ობიექტის  
დასახლება

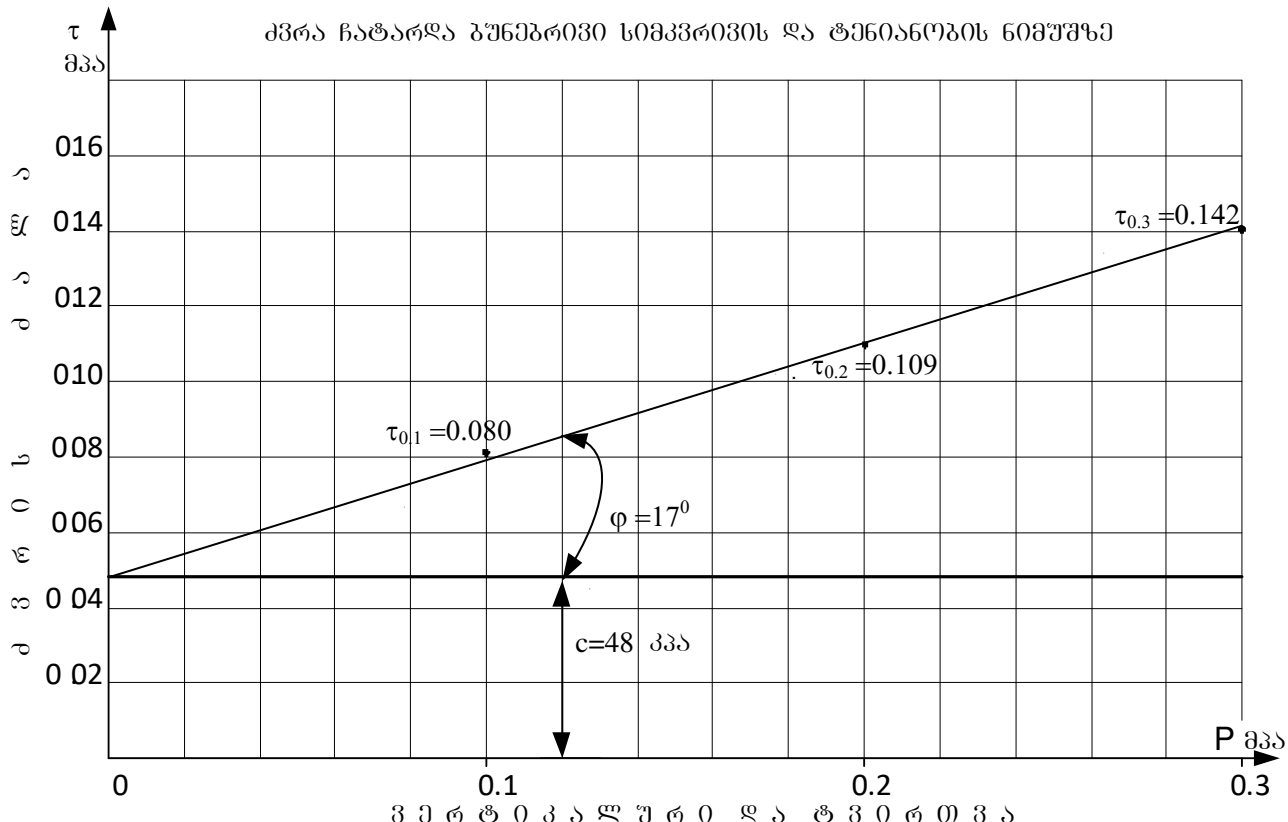
დაბა ლენტეს ჭყალმარაგების სისტემის რეაგილიტაცია

ჰაბურდი № 4

აღების სიღრმე  $h = 2,50$  მ 60მუშაოს სახე: მონოლითი

ლაპორ. № 349

გრაფიკ № 11



|   |      |       |
|---|------|-------|
| გრუნტის დასახლება ალასტიკურობის<br>რიცხვის მიხედვით |      |       |
| $I_p$   | 0,30 | 010ხა |

|       |      |       |
|-------|------|-------|
| $I_p$ | 0,30 | 010ხა |
|-------|------|-------|

| გუნდის ტენიანობა | სიმკვრივე         |         |         | ფრინველის | ფრინველის<br>კონფიგურაცია | ფრინველის<br>ხარისხი | კლასტიკური მობა |      |      | კონსისტენცია |   |
|------------------|-------------------|---------|---------|-----------|---------------------------|----------------------|-----------------|------|------|--------------|---|
|                  | ბრუნვის           | გრუნტის | გრუნტის |           |                           |                      | n               | e    | Sr   | $W_L$        |   |
| %                | გ/სგ <sup>3</sup> | %       | -       | -         | -                         | -                    | -               | -    | -    | -            | - |
| 28,4             | 1,87              | 1,46    | 2,73    | 46,7      | 0,875                     | 0,79                 | 0,50            | 0,23 | 0,27 | 0,20         |   |

| გრუნტის ძვრის მახასიათებლები | გრუნტის ძვრის მახასიათებლები |                    |        |                             |           |
|------------------------------|------------------------------|--------------------|--------|-----------------------------|-----------|
|                              | მაღალი                       | მაღალი             | მაღალი | მაღალი                      | მაღალი    |
| $P$                          | $\tau$                       | $\tau$             | $\tau$ | $\operatorname{tg} \varphi$ | $\varphi$ |
| გან.                         | გან.                         | გან.               | —      | გრდ.                        |           |
| 0.1                          | 0,080                        | 0,079              |        |                             |           |
| 0.2                          | 0,109                        | 0,110              | 0,31   | 14                          |           |
| 0.3                          | 0,142                        | 0,141              |        |                             |           |
| 0, 48                        | 48                           | 38/18 <sup>2</sup> |        |                             |           |

# გრუნტის ძვრაზე გამოცდის

## შედეგები

ობიექტის  
დასახელება

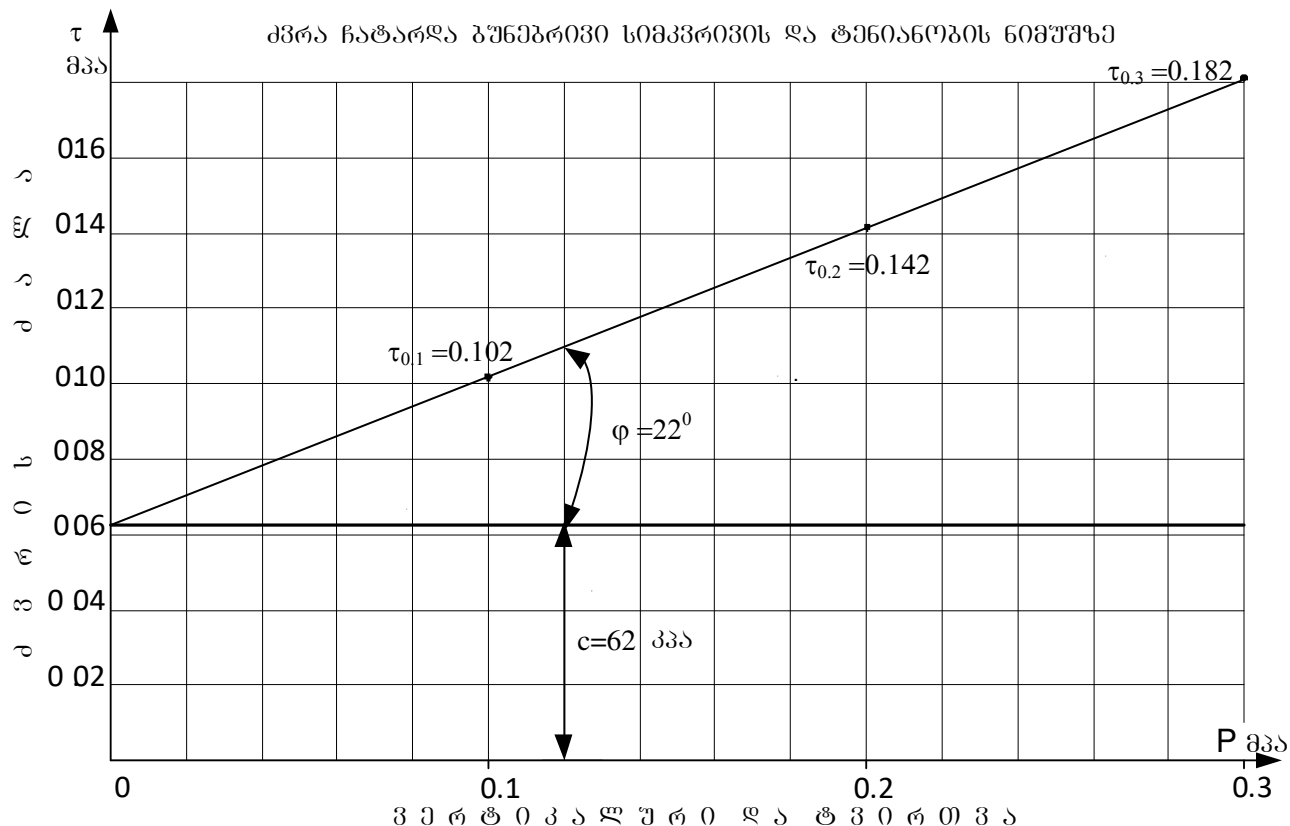
დაბა ლენტეს ჭყალმარაგების სისტემის რეაბილიტაცია

ჰაბურდილი № 5

აღების სიღრმე  $h = 1,3$  მ 60მუშაოს სახე: მონოლითი

ლაპორ. № 350

გრაფიკ № 12



გრუნტის დასახელება ალაზანიკურის  
რიცხვის მიხედვით

|       |      |       |
|-------|------|-------|
| $I_p$ | 0,31 | 010ხა |
|-------|------|-------|

| გუნდრივი<br>ტენიანობა | სიმკვრივე |          |          | ფრინველების<br>ნაშენება: | კლასებიცვა-<br>რობა |       |       |       |       |       |  |
|-----------------------|-----------|----------|----------|--------------------------|---------------------|-------|-------|-------|-------|-------|--|
|                       | გრუნტის   | გრუნტის  | გრუნტის  |                          | ნეტის               | ნეტის | ნეტის | ნეტის | ნეტის | ნეტის |  |
| W                     | $\rho$    | $\rho_d$ | $\rho_s$ | n                        | e                   | Sr    | $W_L$ | $W_p$ | $I_p$ | $I_L$ |  |
| %                     | გ/სგ³     | გ/სგ³    | გ/სგ³    | %                        | -                   | -     | -     | -     | -     | -     |  |
| 27,0                  | 1,85      | 1,46     | 2,73     | 46,6                     | 0,874               | 0,74  | 0,53  | 0,22  | 0,31  | 0,16  |  |

| გრუნტის ძვრის მახასიათებლები | მარტივობა           | მიმღებელი           |                            |                    |                  |                    |
|------------------------------|---------------------|---------------------|----------------------------|--------------------|------------------|--------------------|
|                              |                     | ძვრის               | ძვრის                      | შენაბანის<br>ხაზის | გოგიზ-<br>ცივები | მინიმუმის<br>ხაზის |
| P                            | $\tau$              | $\tau$              | $\operatorname{tg}\varphi$ | $\varphi$          | c                |                    |
| გვა                          | გვა                 | გვა                 | -                          | გრდ.               |                  |                    |
| 0.1                          | 0,102               | 0,102               |                            |                    |                  |                    |
| 0.2                          | 0,142               | 0,142               | 0,40                       | 22                 |                  |                    |
| 0.3                          | 0,182               | 0,182               |                            |                    |                  |                    |
| 0, 62                        | $62 \text{ კნ/მ}^2$ | $62 \text{ კნ/მ}^2$ |                            |                    |                  |                    |

# გრუნტის ძვრაზე გამოცდის

## შედეგები

ობიექტის  
დასახლება

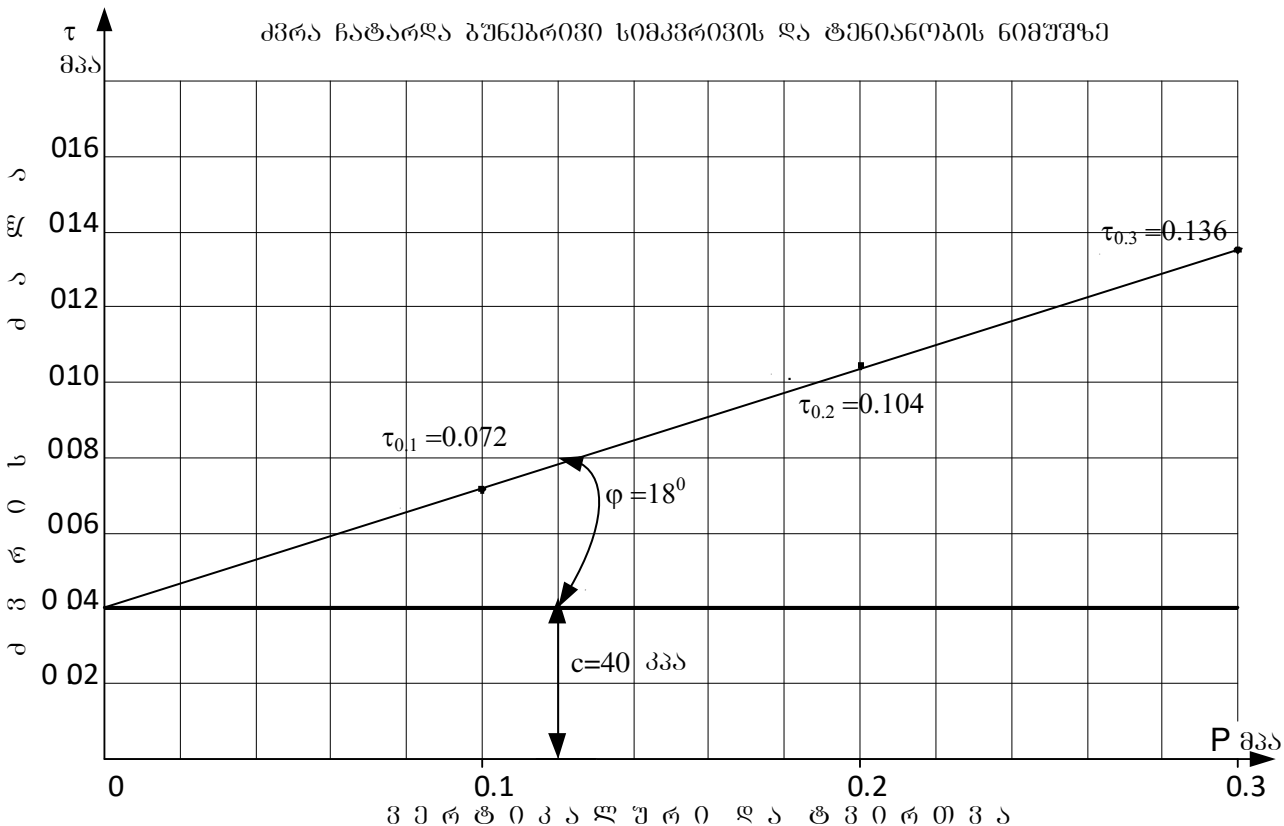
დაბა ლენტეს ჭყალმარაგების სისტემის რეაგილიტაცია

ჰაბურდი № 6

აღების სიღრმე  $h = 1,8$  მ 60მუშის სახე: მონოლითი

ლაპორ. № 351

გრაფიკ № 13



გრუნტის დასახლება ალასტიკურობის  
რიცხვის მიხედვით

|       |      |      |
|-------|------|------|
| $I_p$ | 0,26 | 0,06 |
|-------|------|------|

| გუნდის ტენიანობა | სიმულაცია         |         |         | გრუნტის განვითარება | ფიზიკური მუდმივების კონსისტენცია | მაგასტიკური მუდმივების ხარისხი | კლასტიკური მუდმივების რობა |      |      | კონსისტენციის განვითარება |
|------------------|-------------------|---------|---------|---------------------|----------------------------------|--------------------------------|----------------------------|------|------|---------------------------|
|                  | გრუნტის           | გრუნტის | გრუნტის |                     |                                  |                                | $n$                        | $e$  | $Sr$ |                           |
| %                | გ/სგ <sup>3</sup> | %       | %       | -                   | -                                | -                              | -                          | -    | -    | -                         |
| 26,4             | 1,94              | 1,53    | 2,73    | 43,8                | 0,779                            | 0,73                           | 0,47                       | 0,21 | 0,26 | 0,21                      |

| გრუნტის მახასიათებლები | გრუნტის ძვრის მახასიათებლები |                   |                                      |
|------------------------|------------------------------|-------------------|--------------------------------------|
|                        | მასა                         | მასა              | მასა                                 |
| $P$                    | $\tau$                       | $\tau$            | $\operatorname{tg} \varphi$          |
| კნ/მ <sup>2</sup>      | კნ/მ <sup>2</sup>            | კნ/მ <sup>2</sup> | კნ/მ <sup>2</sup>                    |
| 0,1                    | 0,072                        | 0,072             | -                                    |
| 0,2                    | 0,104                        | 0,104             | 18                                   |
| 0,3                    | 0,136                        | 0,136             | 40                                   |
|                        |                              |                   | $\operatorname{tg} \varphi / \tau^2$ |
|                        |                              |                   | 0,40                                 |